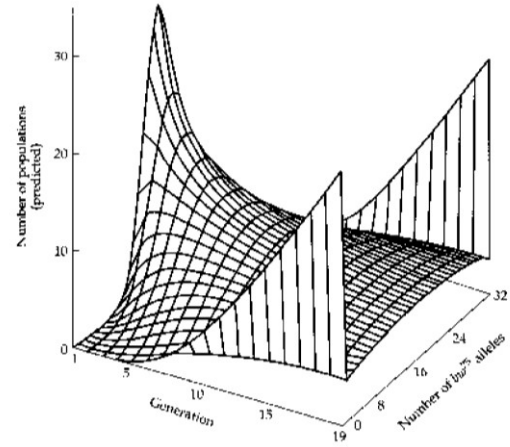
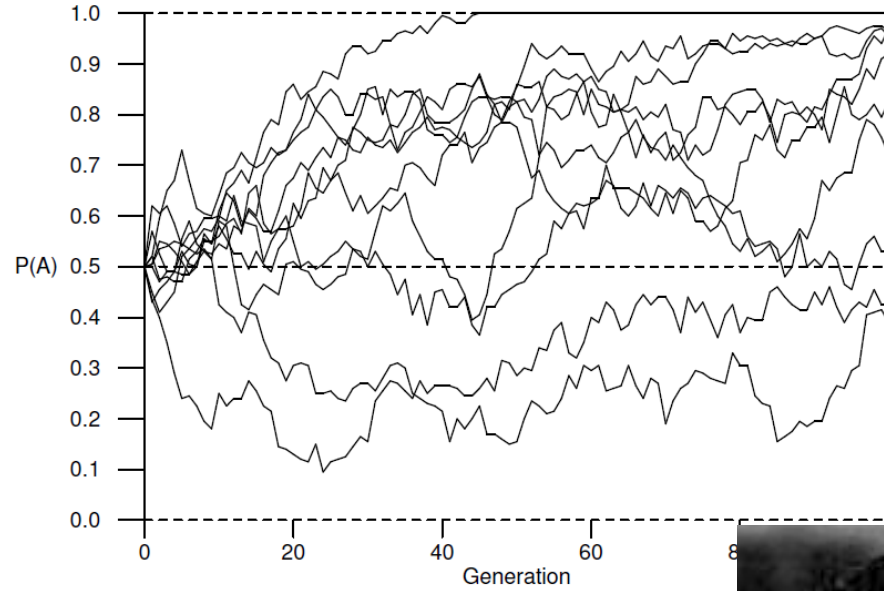


# NÁHODNÝ GENETICKÝ POSUN (GENETICKÝ DRIFT)



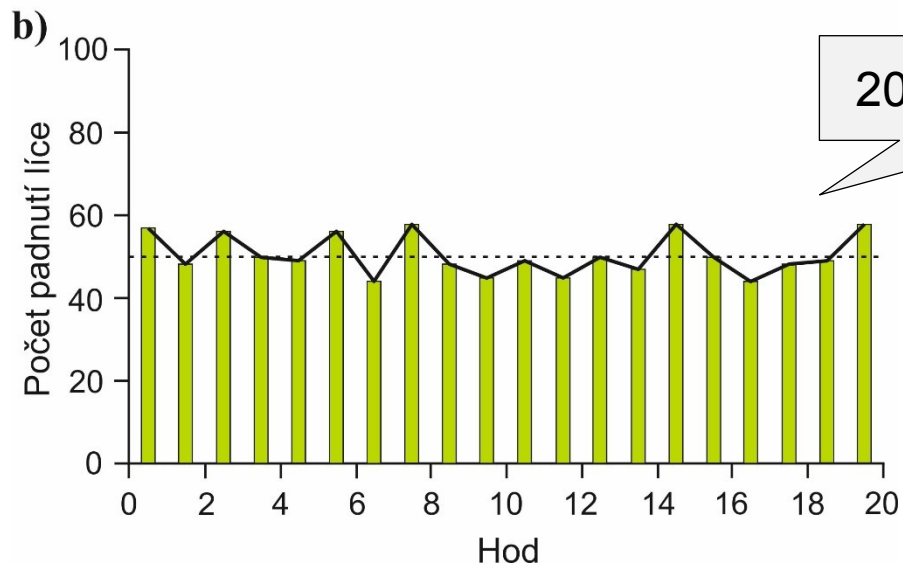
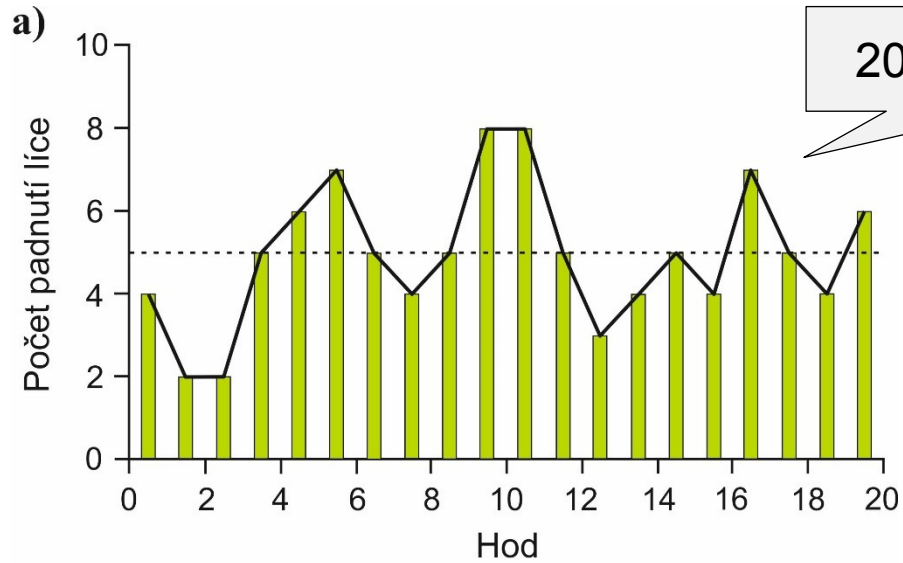
HW: nekonečně velká populace, ale v reálném světě velikost populace omezená  $\Rightarrow$  náhodné procesy, neadaptivní evoluce

Proč náhoda?

při konečném počtu opakování pravděpodobnost jevu  $\neq$  jeho frekvenci (srv. H-W princip)

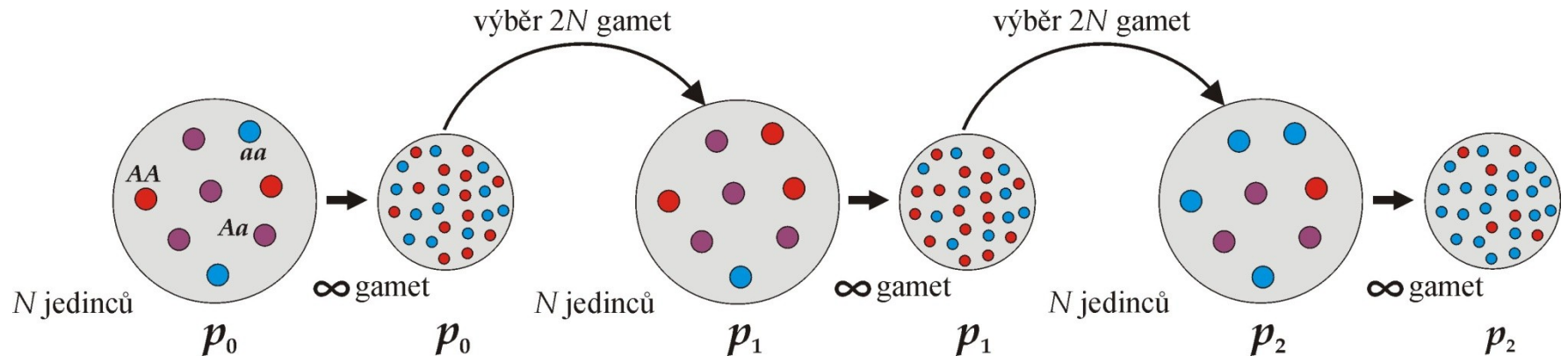


10 hodů  $\rightarrow$  ve více než 75 % případů bude poměr jiný než 1 : 1



S větším počtem mincí menší rozptyl kolem očekávané hodnoty

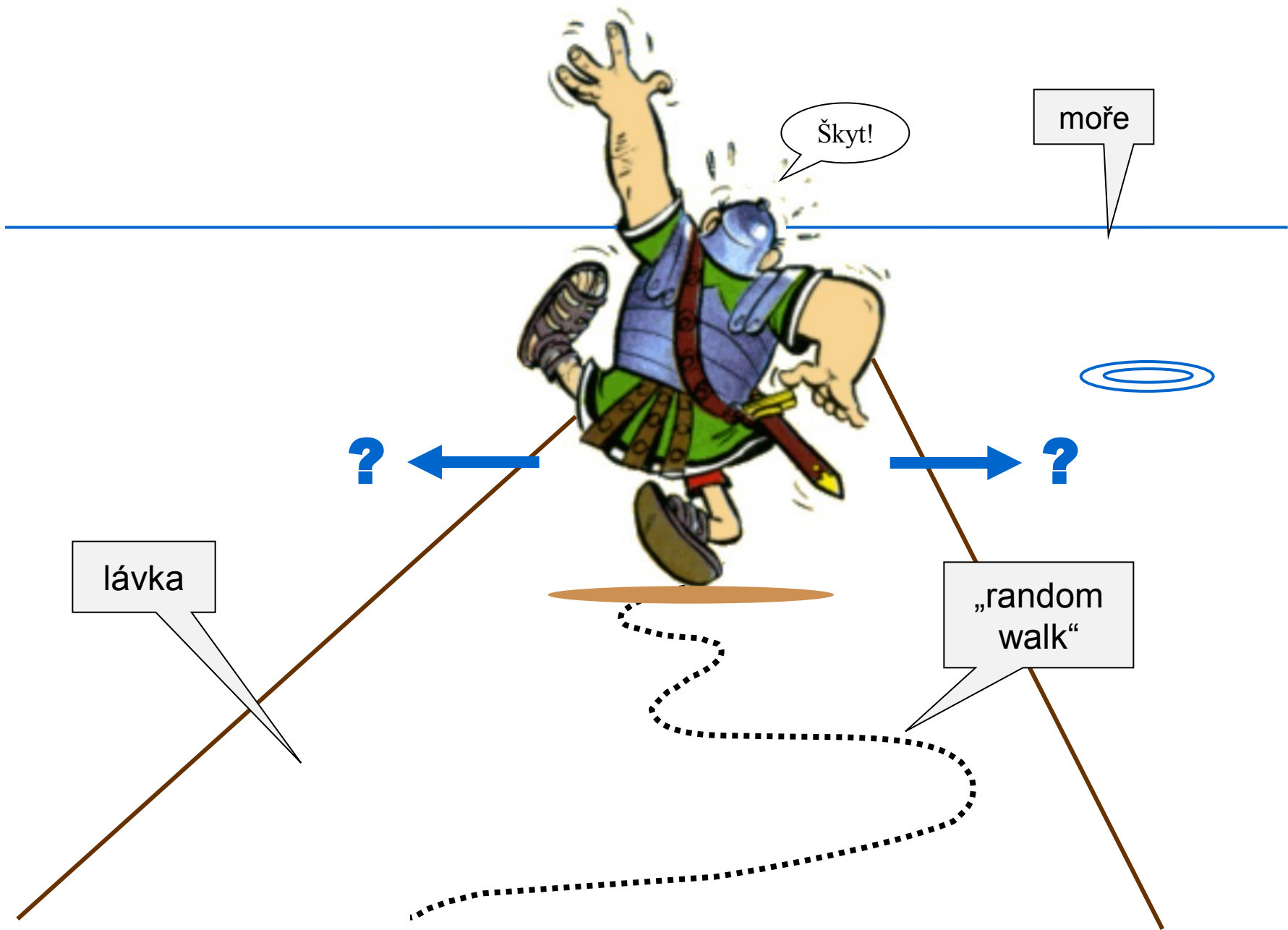
## Náhodný výběr gamet z genofondu (*sampling error*):

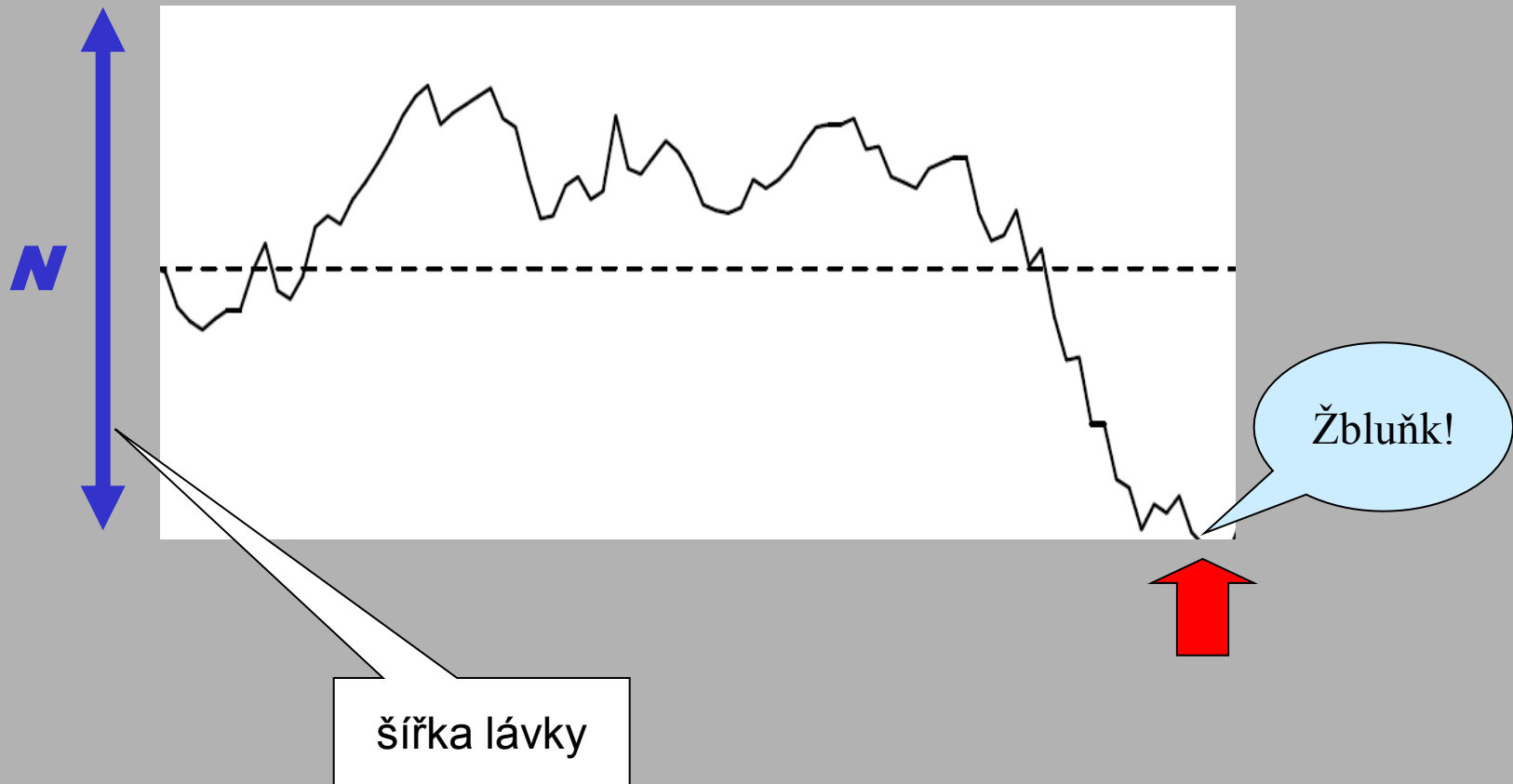


Výsledkem náhodného výběru je kolísání frekvencí mezi generacemi = „**random walk**“

## Wrightův-Fisherův model

$\approx$  Hardyho-Weinbergův model pro malé populace



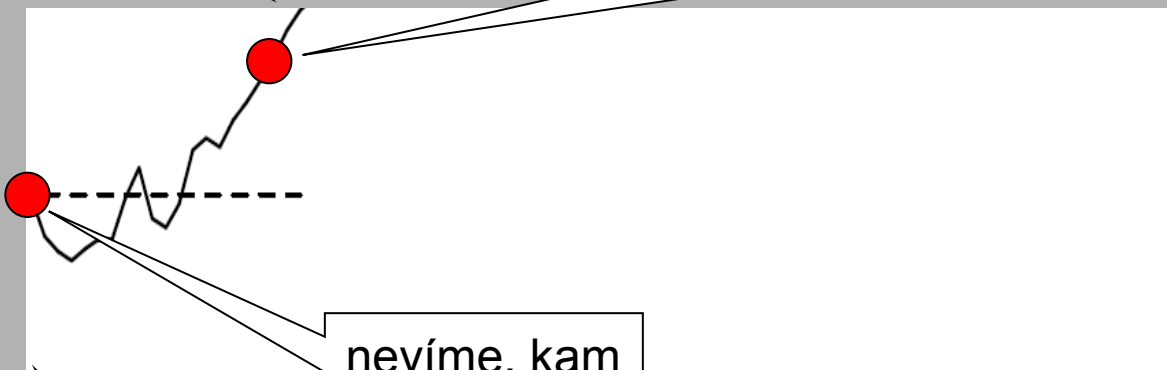


Žbluňk!



můžeme  
předpokládat, že  
spadne doleva!

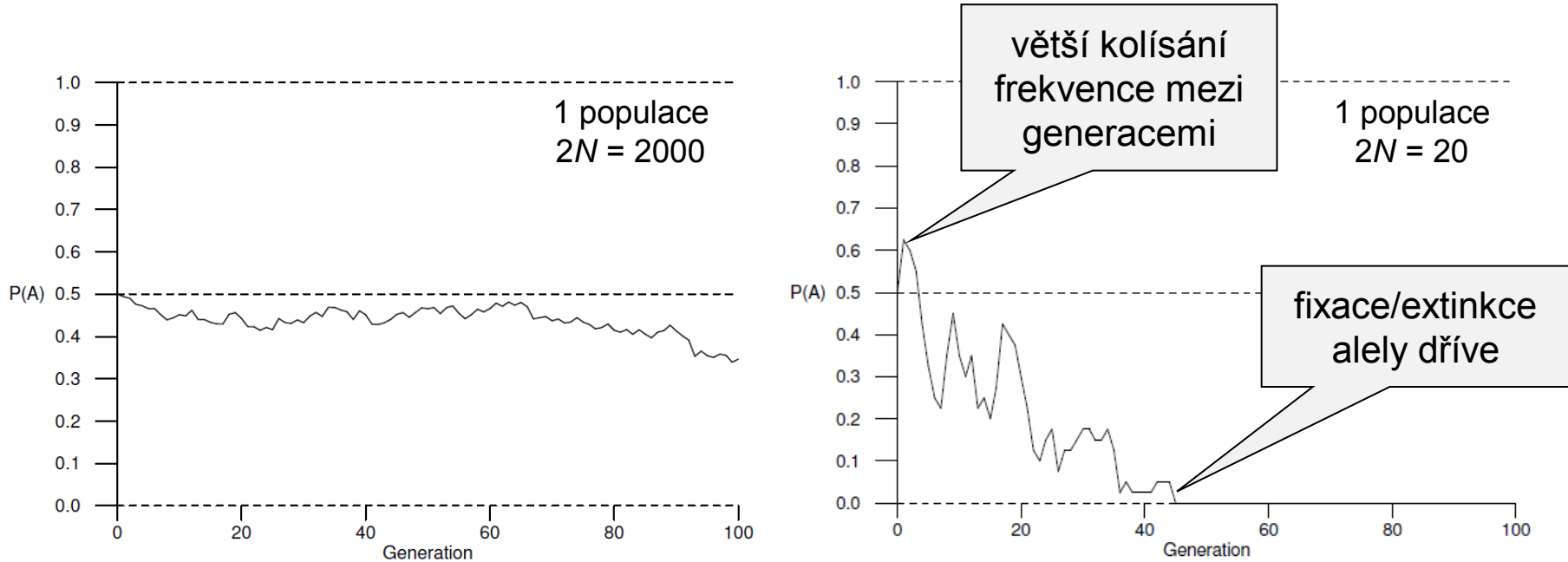
$N$



nevíme, kam  
spadne

užší lávka

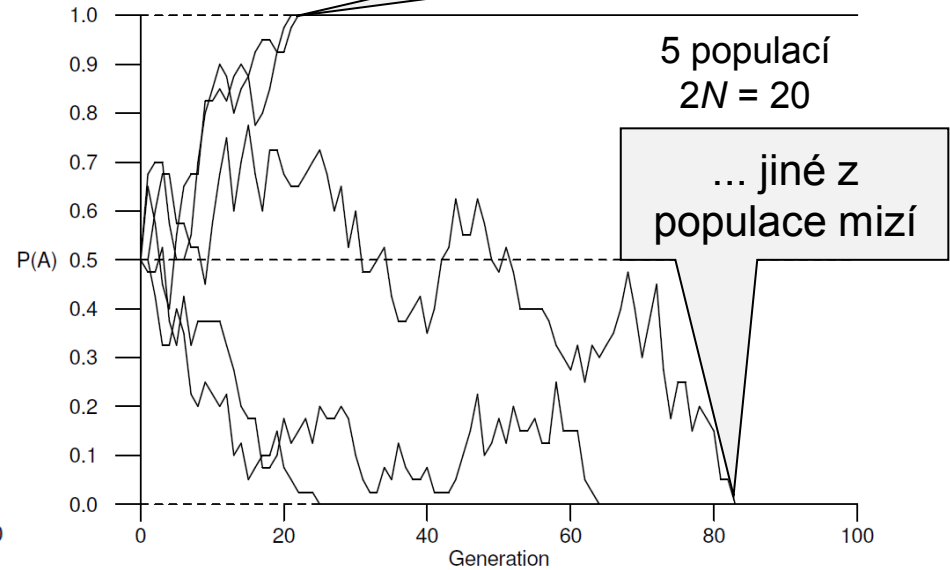
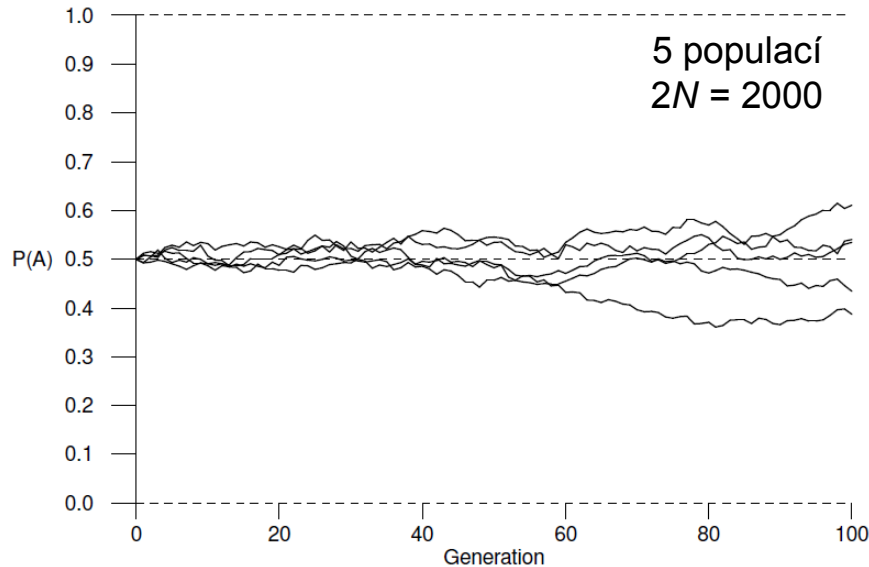
## Modelování driftu:



Kolísání frekvencí mezi generacemi silnější v malých populacích (~ opilejší námořník).



## Modelování driftu:



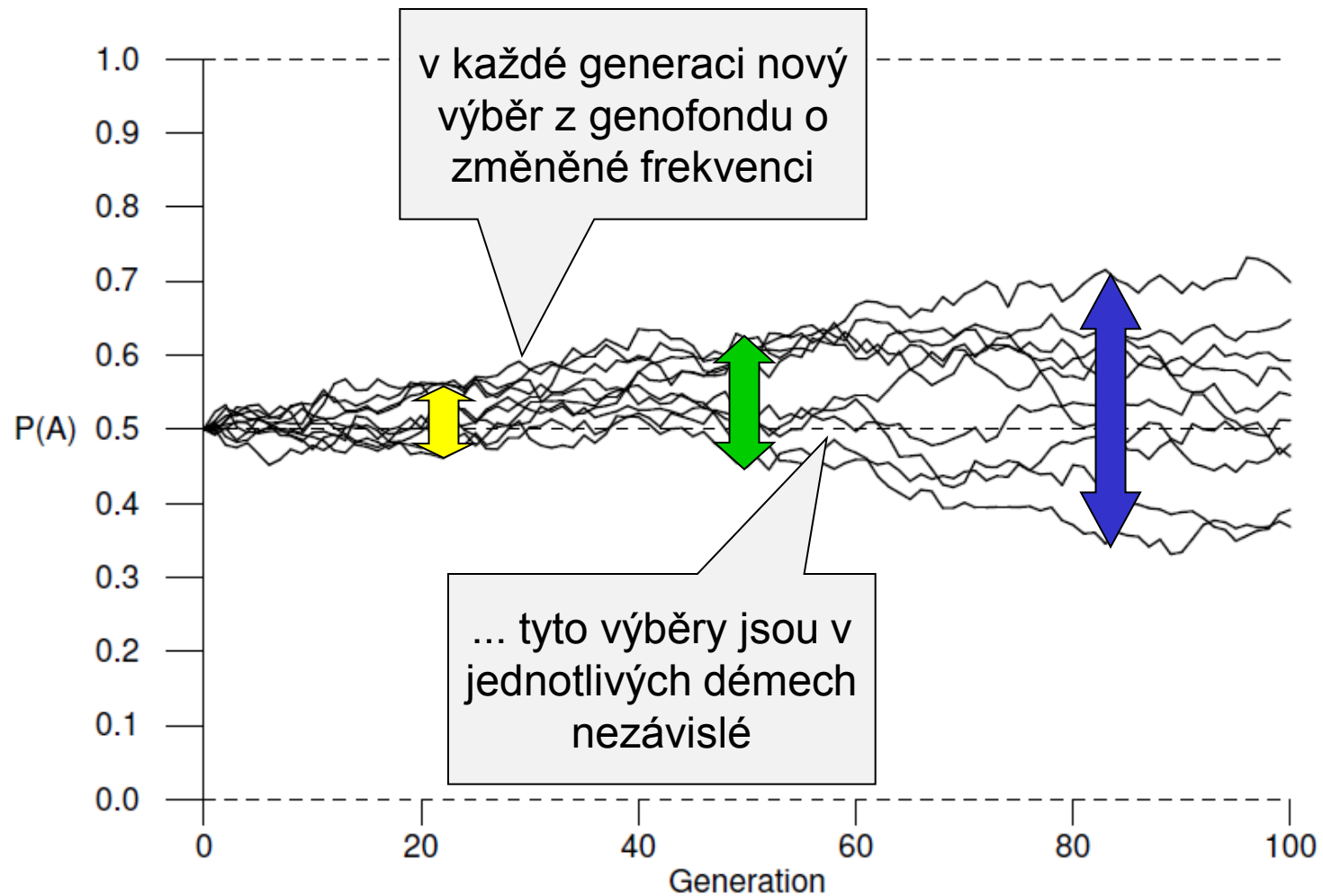
Závěr 1: Konečným výsledkem je buď fixace, nebo extinkce alely.

Závěr 2: Důsledkem driftu je ztráta variability v démech.

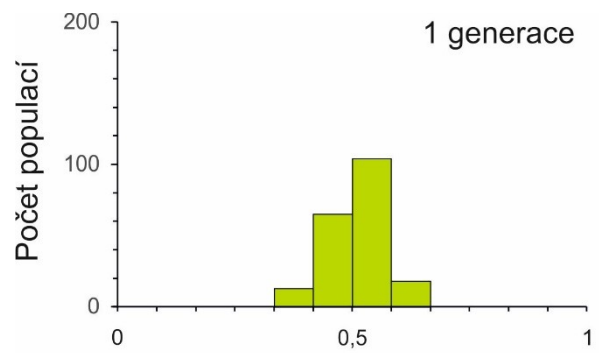
Závěr 3: Pravděpodobnost fixace alely je rovna její frekvenci.

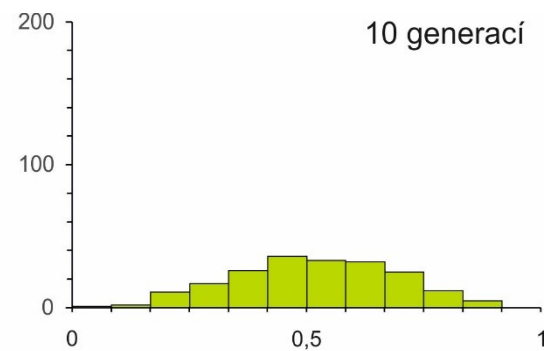
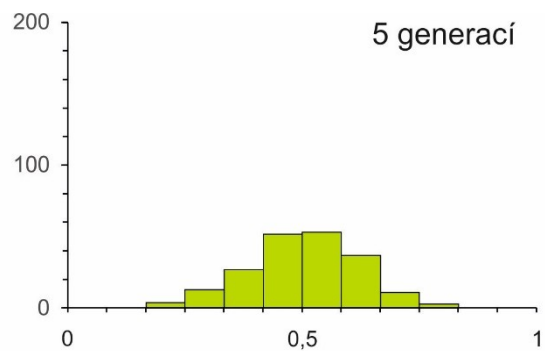
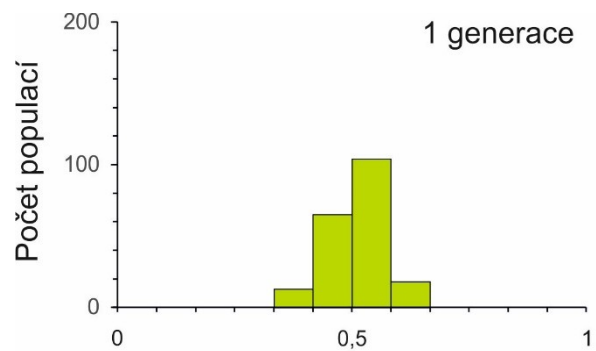
Pravděpodobnost fixace nově vzniklé alely u diploidů =  $1/(2N)$

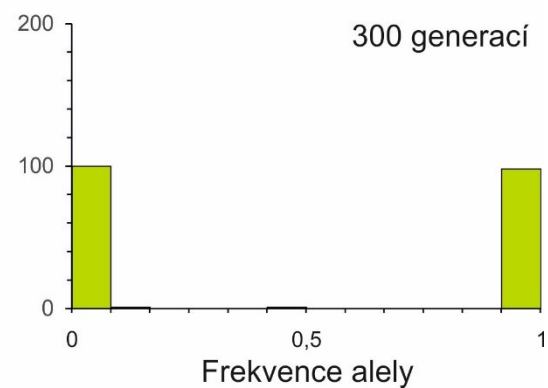
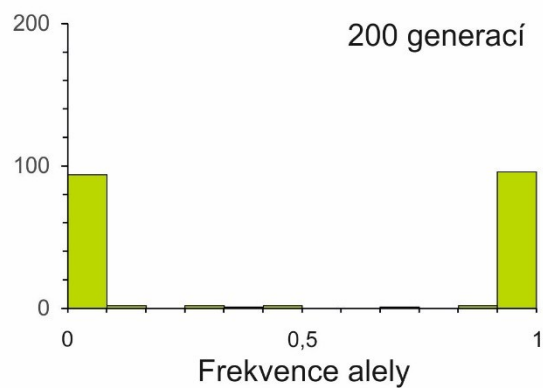
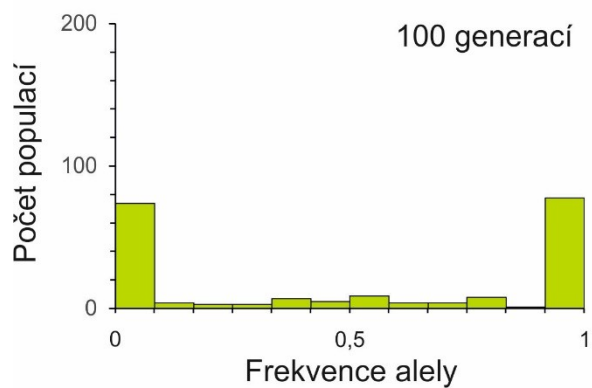
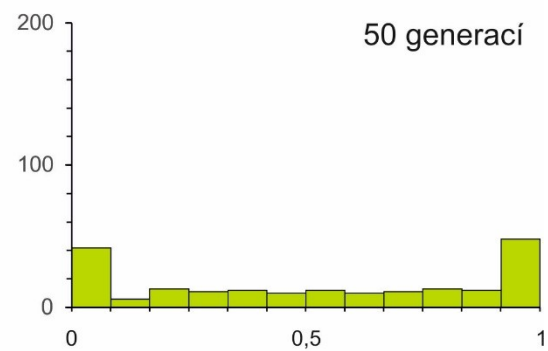
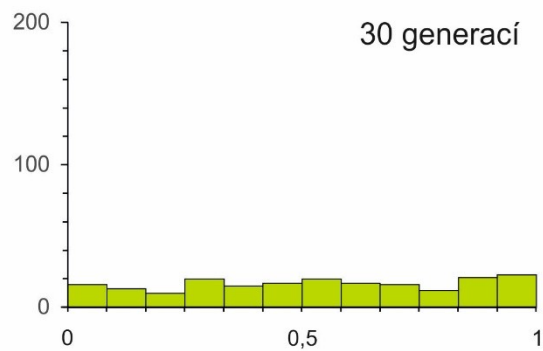
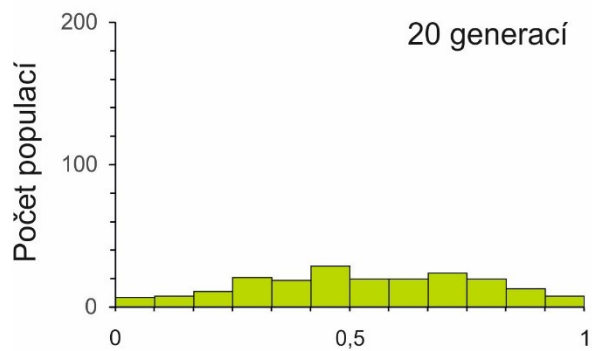
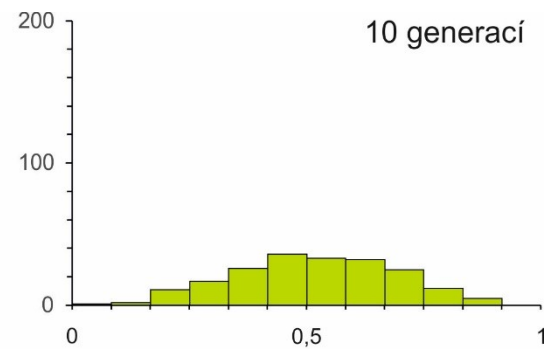
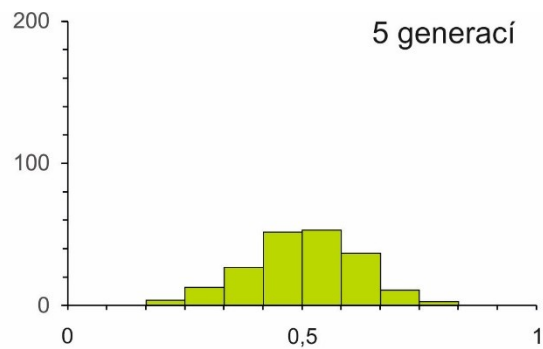
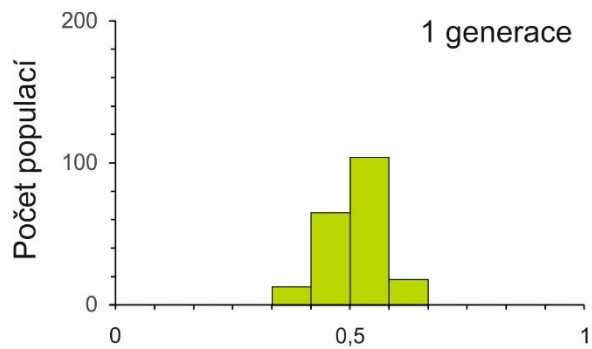
Závěr 4: Průměrná doba fixace nové alely  $\approx 4N$ .



**Závěr 5: Drift vede k divergenci mezi démy.**







Peter Buri (1956):

107 populací *D. melanogaster*

nulová generace: 16 heterozygotních jedinců  $bw^{75}/bw$  v každé populaci

v každé generaci náhodný výběr 8 samců a 8 samic

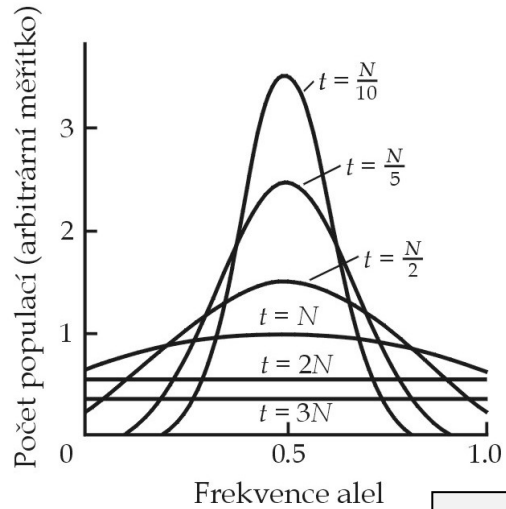
19 generací



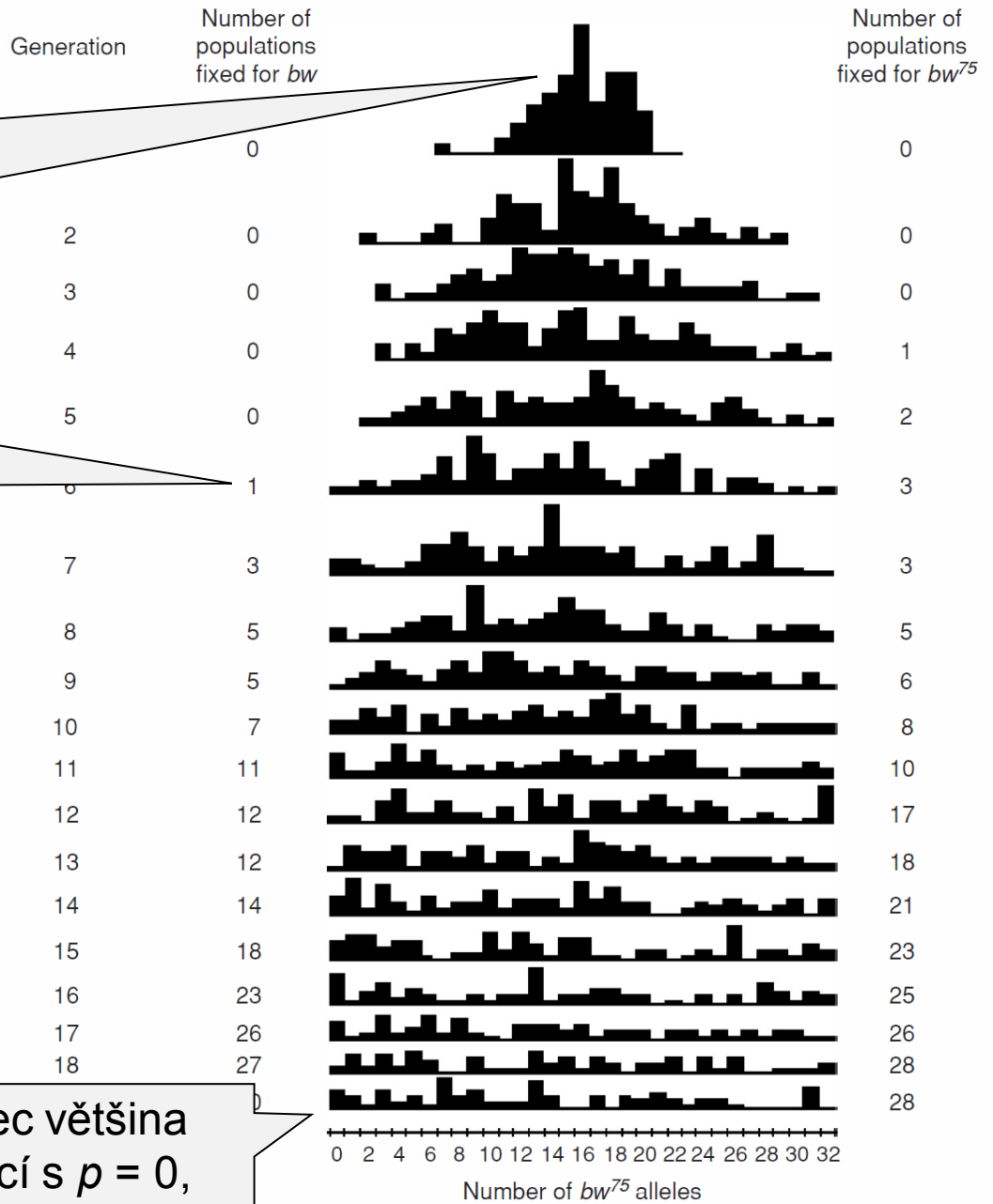
# Buri (1956):

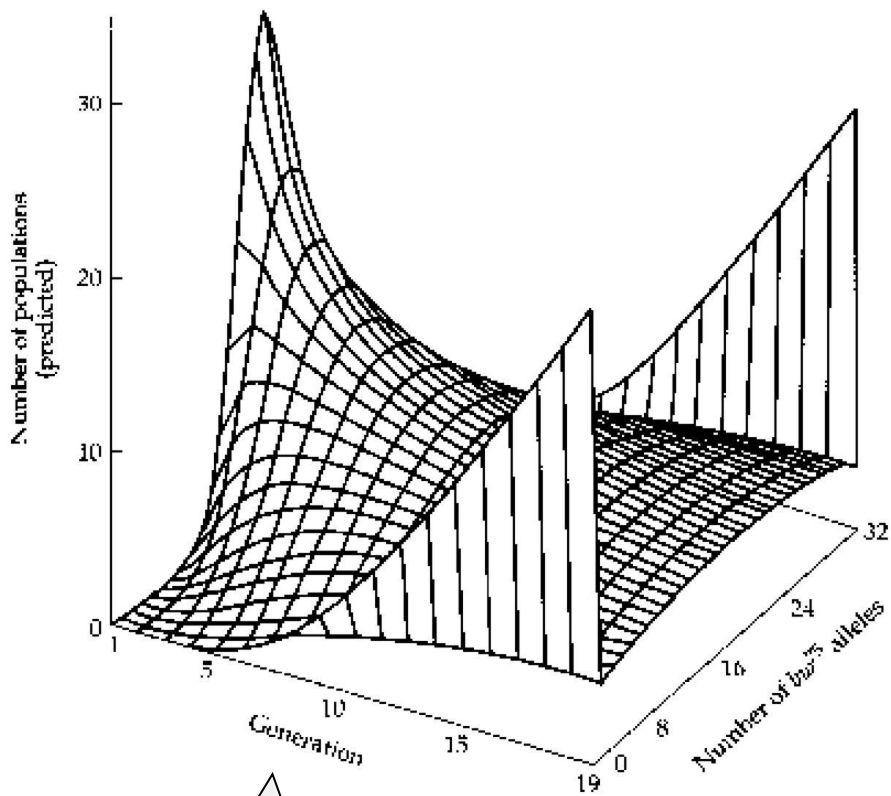
v první generaci  
většina populací  
okolo hodnoty  
 $p = 0,5$

postupná  
divergence  
populací

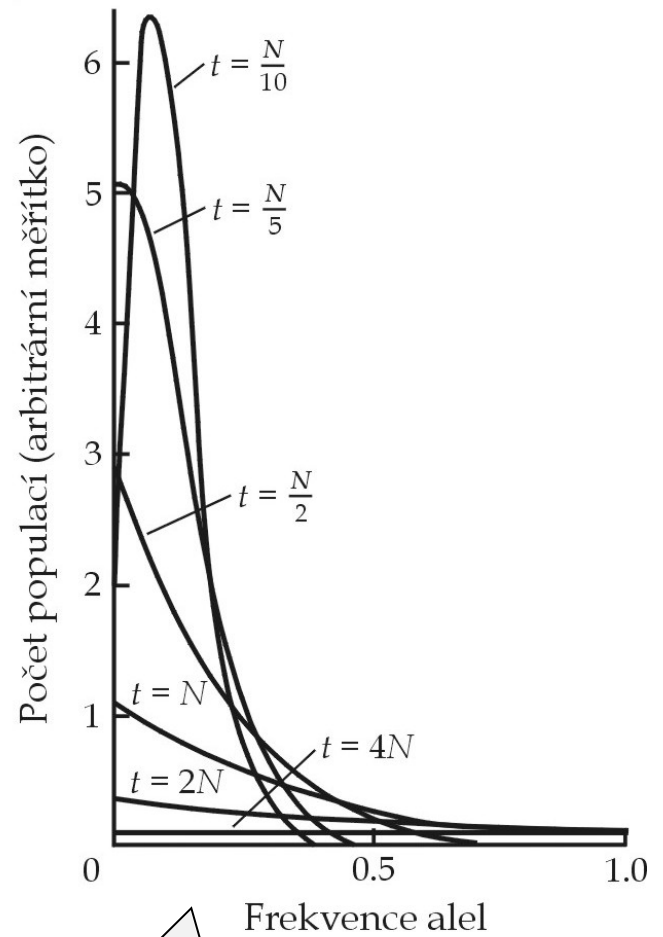


nakonec většina  
populací s  $p = 0$ ,  
nebo  $p = 1$





matematická simulace  
(difúzní aproximace)



simulace při počáteční  
frekvenci  $p = 0,1$



# Př.: ještěrka lávová (*Microlophus albemarlensis*) na Galapágách

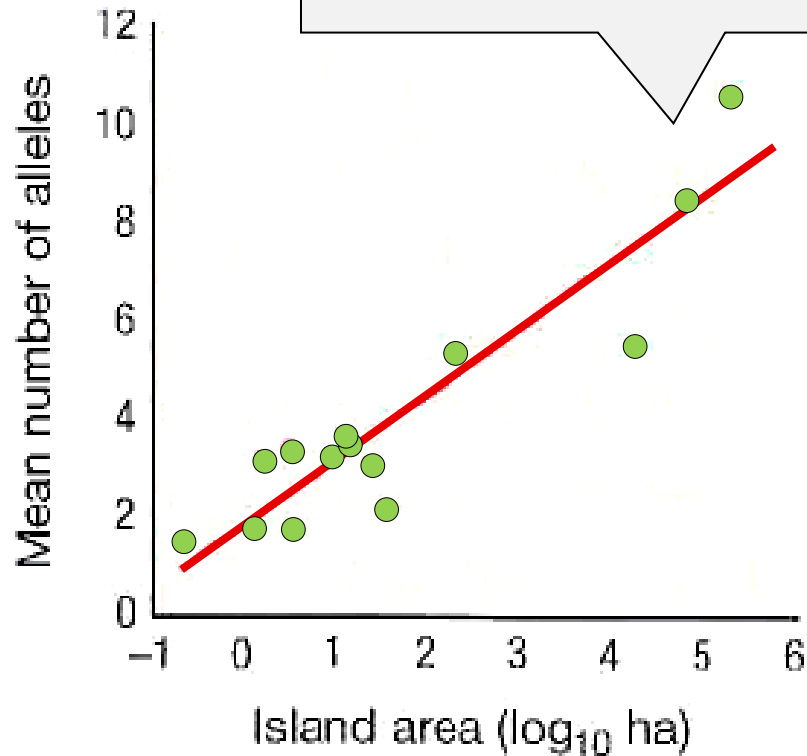


M. Jordan, H. Snell (2002):

17 populací

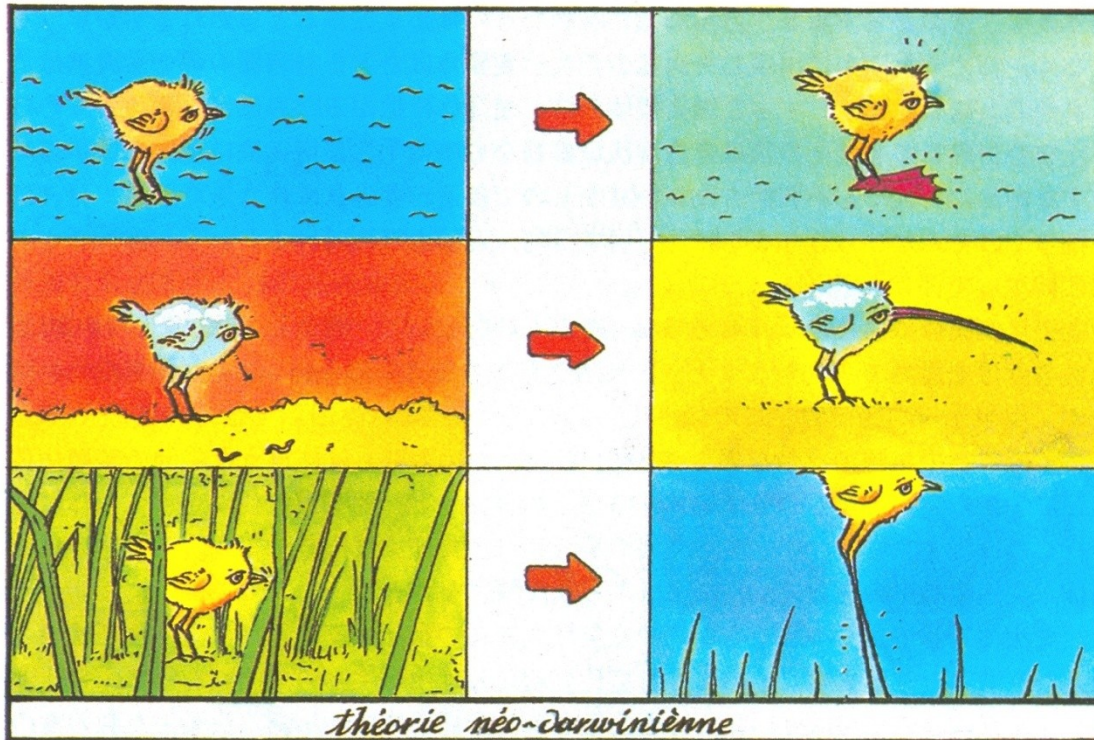
11 mikrosatelitů

ještěrky na větších  
ostrovech mají vyšší  
variabilitu

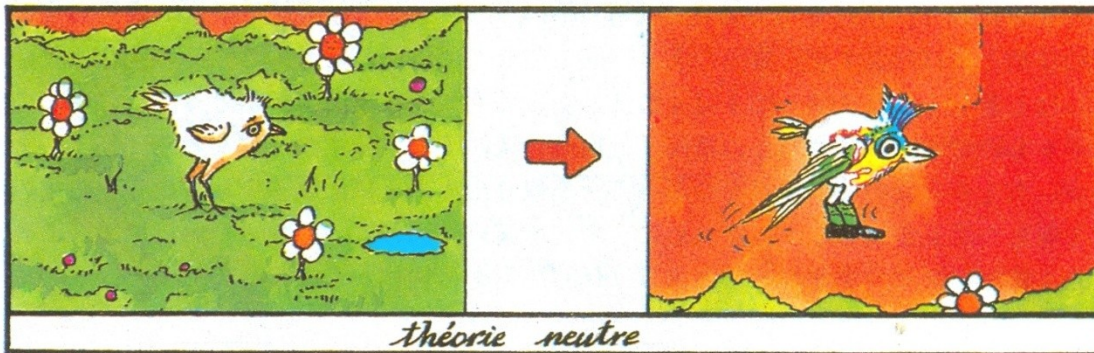


mořská hladina před  
17 a 12 tisíci lety a v  
současnosti

# Evoluce selektivně neutrálních znaků je **náhodná**



darwinovská evoluce:  
„*survival of fittest*“



neutrální evoluce:  
„*survival of luckiest*“

# Efektivní velikost populace

Reálné populace se odchyľují od WF modelu (kolísání  $N$ , odlišná reprodukční úspěšnost a mortalita, nerovný poměr pohlaví, ....)

→ **efektivní velikost populace**  $N_e$  nám umožňuje měřit drift v neideální populaci

**Efektivní velikost populace** = počet jedinců idealizované Wrightovy-Fisherovy populace, která vykazuje stejnou míru driftu jako studovaná neidealizovaná populace

Podobně jako u koeficientu inbreedingu neexistuje jediná efektivní velikost populace!!

## Některé faktory snižující $N_e$ ve srovnání s $N$ :

překrývající se generace

kolísání velikosti populace mezi generacemi

rozdílný počet rozmnožujících se samců a samic

velký rozptyl v počtu potomků mezi jedinci

**Pozor! Za určitých podmínek může být efektivní velikost populace vyšší než  $N$ !!**

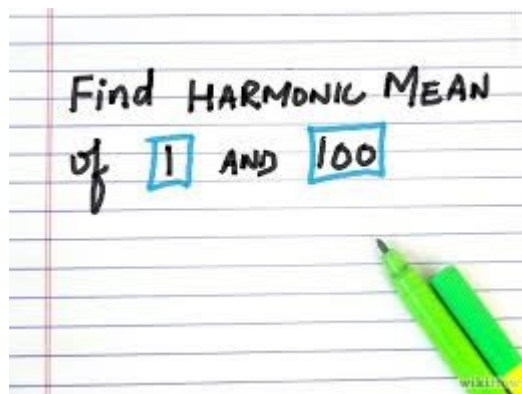
# Vliv kolísání populační velikosti:

efektivní velikost lze aproximovat jako harmonický průměr  $\Rightarrow$  velký vliv malých  $N$ !!

$$N_e = \frac{t}{\frac{1}{N_1} + \frac{1}{N_2} + \dots + \frac{1}{N_t}}$$

harmonický průměr

průměr mnohem blíží nižší hodnotě



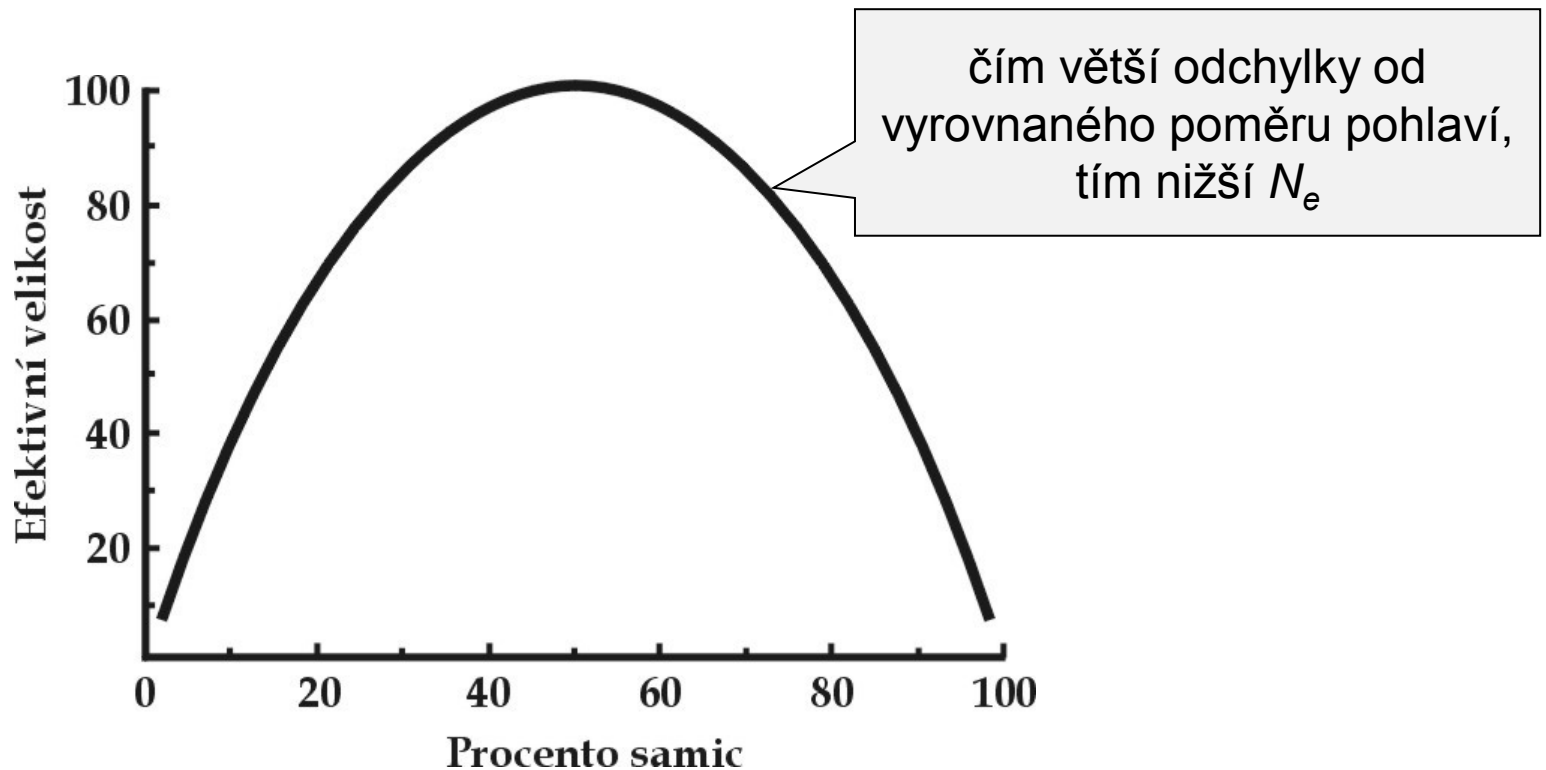
Handwritten calculation on lined paper:  $H = \frac{2}{\frac{1}{a_1} + \frac{1}{a_2}}$   
 $= \frac{2}{\frac{1}{1} + \frac{1}{100}}$  A green highlighter is visible at the bottom right.

Handwritten calculation on lined paper:  $= \frac{2}{1.01}$   
 $= 1.9802$  The result 1.9802 is boxed in blue. Below it, it says "Harmonic Mean of 1 and 100". A green highlighter is visible at the bottom right.

## Vliv vychýleného poměru pohlaví:

předchozí výpočty a aproximace předpokládaly stejný počet samců a samic přispívajících svými geny do dalších generací

$N_m$  = počet rozmnožujících se samců,  $N_f$  = počet samic



# Vliv vychýleného poměru pohlaví:

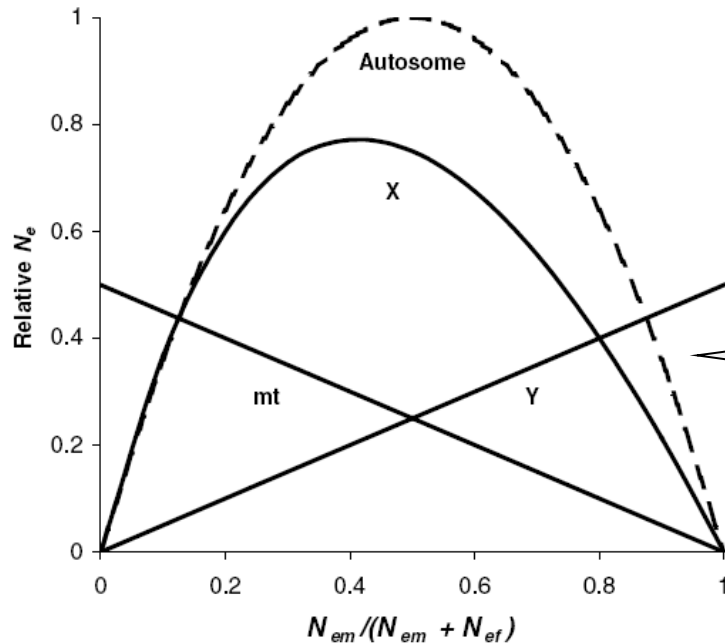
$$N_m = 1:$$

$$N_e = \frac{4N_m N_f}{n_m + n_f}$$



$$N_e = \frac{4N_f}{1} \approx 4$$

z uvedeného vztahu vyplývá, že pokud se v populaci bude rozmnožovat pouze jeden samec, bude  $N_e \approx 4$  bez ohledu na celkový počet jedinců



vliv poměru pohlaví na  $N_e$  odlišný pro různé genetické znaky!



## Nestejná reprodukční úspěšnost:

rypouš sloní:

v harému poměr pohlaví 1:40<sup>\*)</sup>

<sup>\*)</sup> efektivní poměr 1:4-5 díky nevěrám a krátké době dominance samce (1-2 roky)



## Reprodukční úspěšnost na úrovni genů:

Jestliže na gen působí selekce, je rozptyl v počtu potomků mezi jedinci v populaci vysoký (jedinci s výhodnou alelou zanechají více potomstva)

⇒  $N_e$  pro tento gen nižší než pro gen selekčně neutrální

## Každý genetický znak vyžaduje vlastní $N_e$ :

Pro geny na autozomech, pohlavních chromozomech a mtDNA existuje odlišná efektivní velikost populace:

autozomy:	$N_e$	$4 N_e$
X, Z:	$\frac{3}{4} N_e$	$3 N_e$
Y, W, mtDNA:	$\frac{1}{4} N_e$	$1 N_e$

# KOALESCENCE

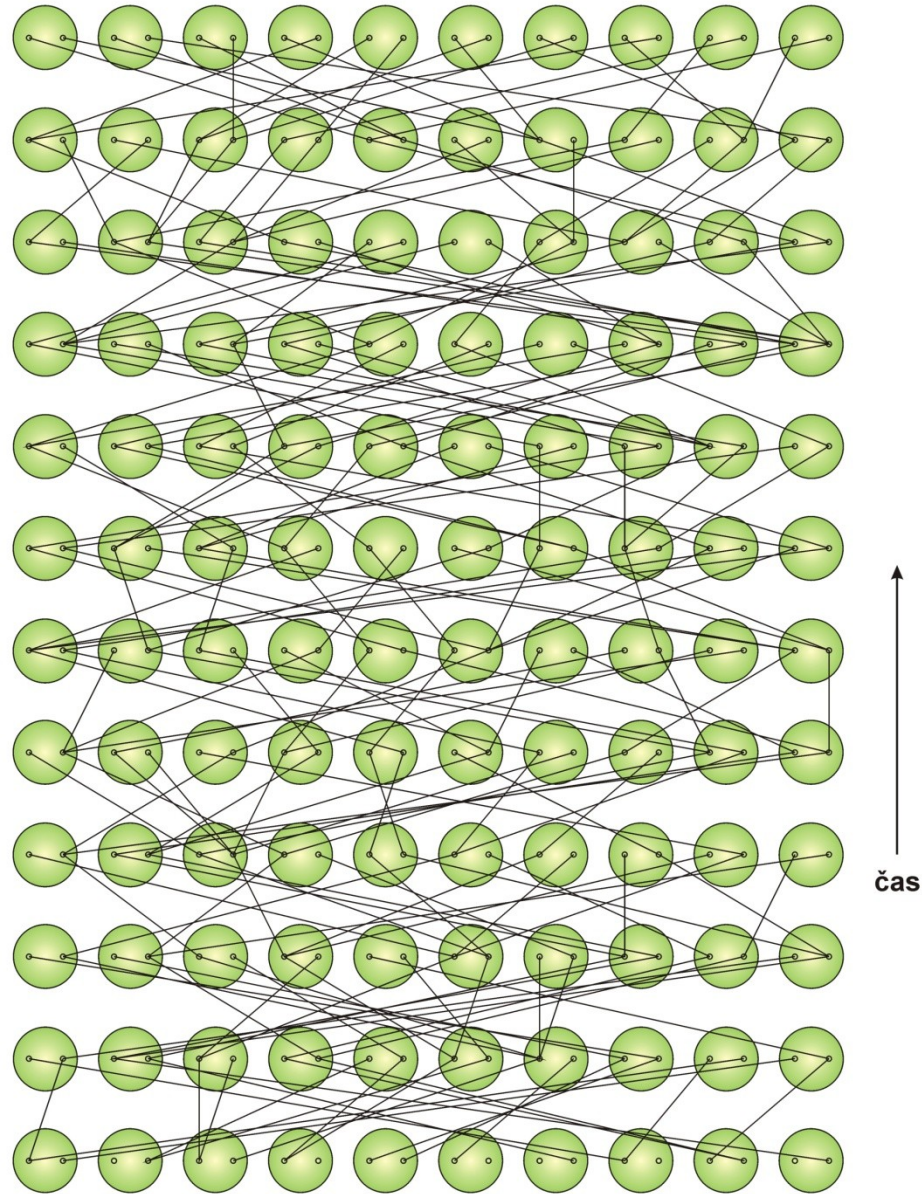
vlivem driftu některé alely z populace mizí  $\Rightarrow$  při absenci mutace nakonec všechny kopie genu mají společného předka

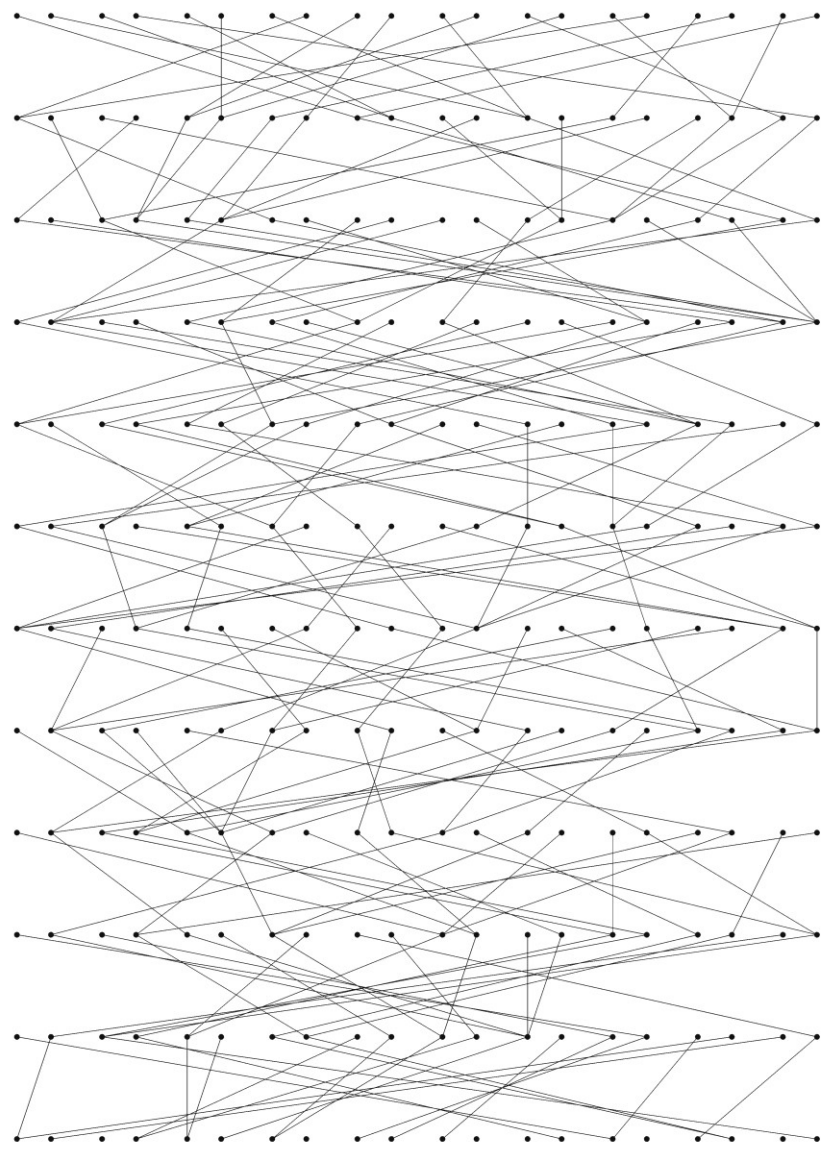
„forward“ přístup

můžeme postupovat i zpět v čase – „backward“ přístup  $\rightarrow$   
cesta v čase zpět až do okamžiku „splnutí“ všech kopií genu  
= **koalescence**

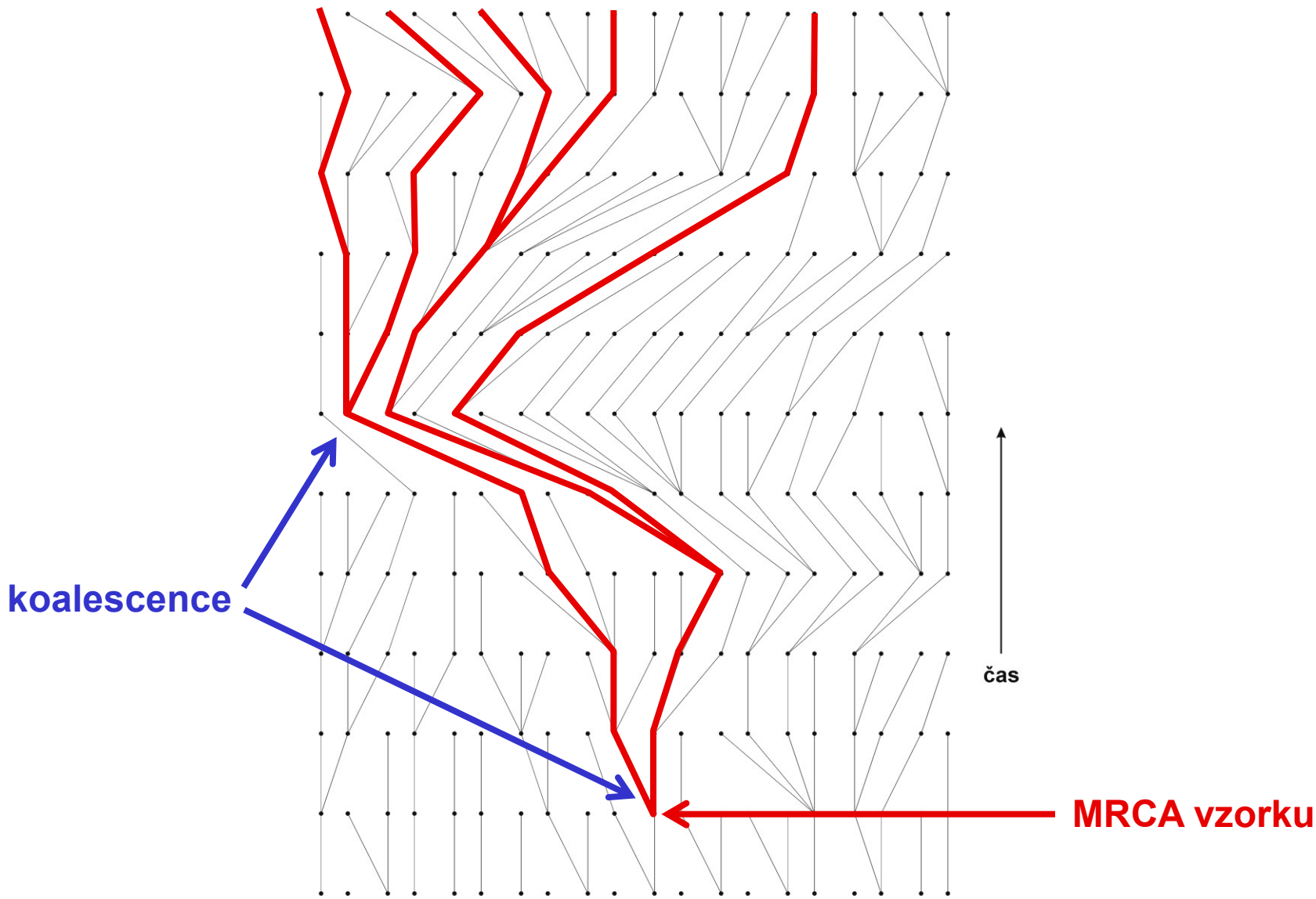
**nejrecentnější společný předek** (MRCA = most recent common ancestor)

# Wrightův-Fisherův model:





↑  
čas



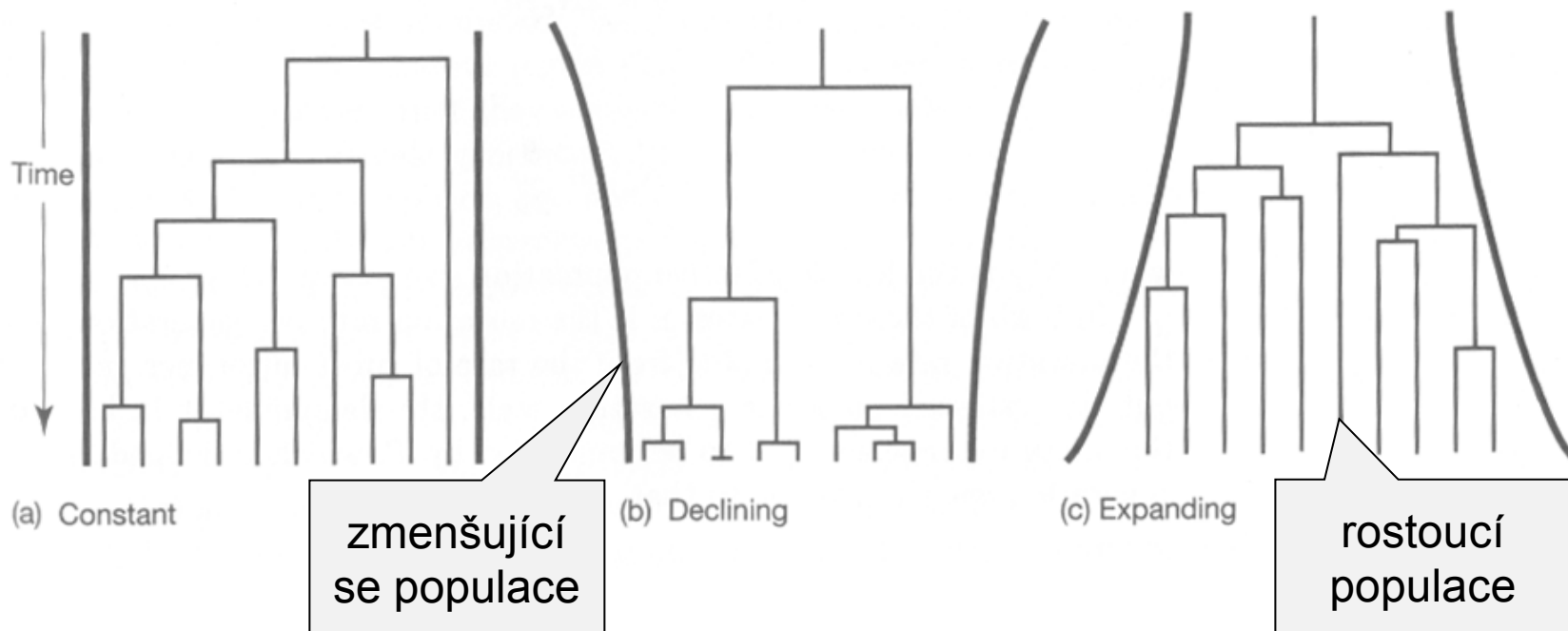
# Koalescence a efektivní velikost populace

z teorie koalescence plyne několik zajímavých důsledků:

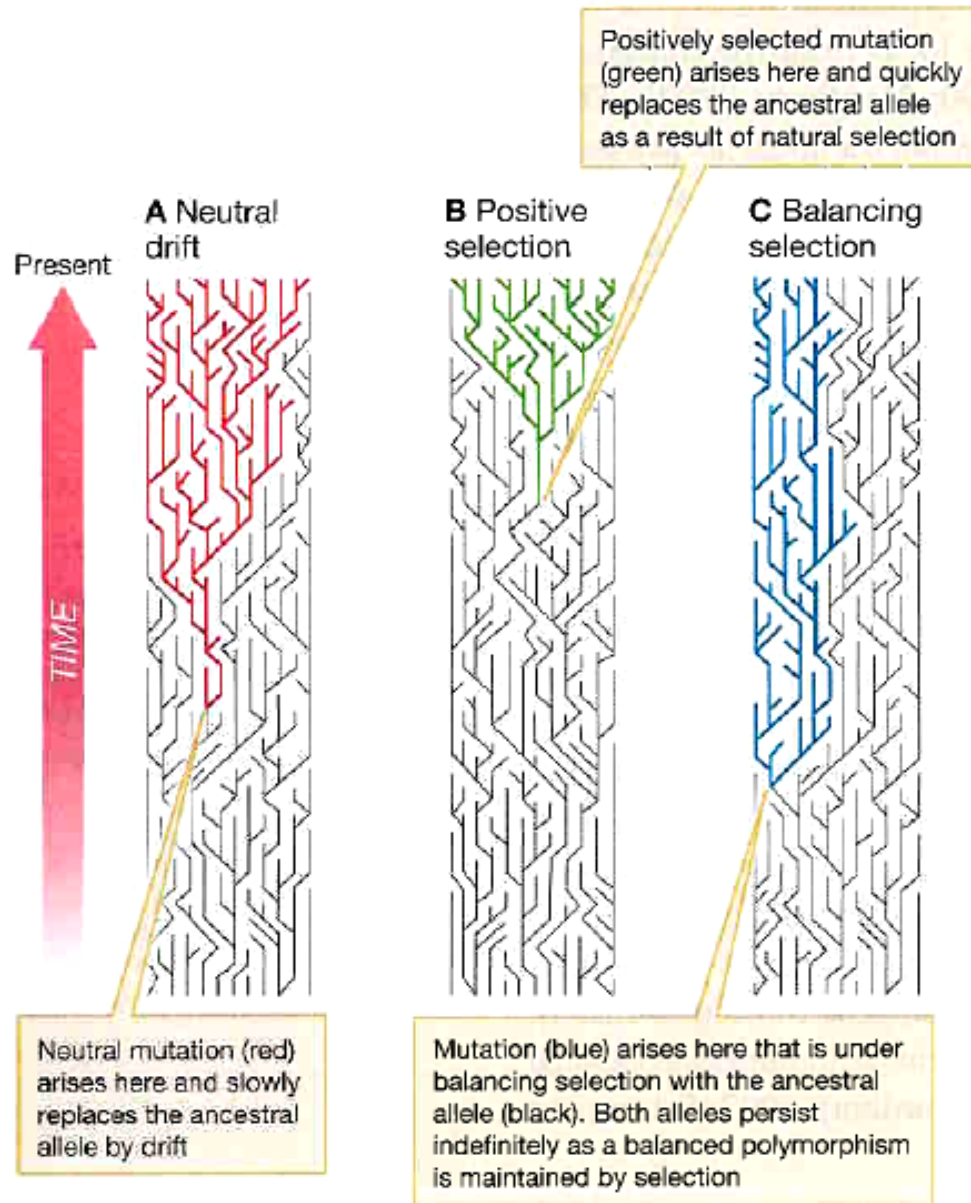
v malé populaci koalescence rychlejší než ve velké

⇒ **můžeme odhadovat  $N_e$**

můžeme však odhadovat i změny  $N_e$  v čase

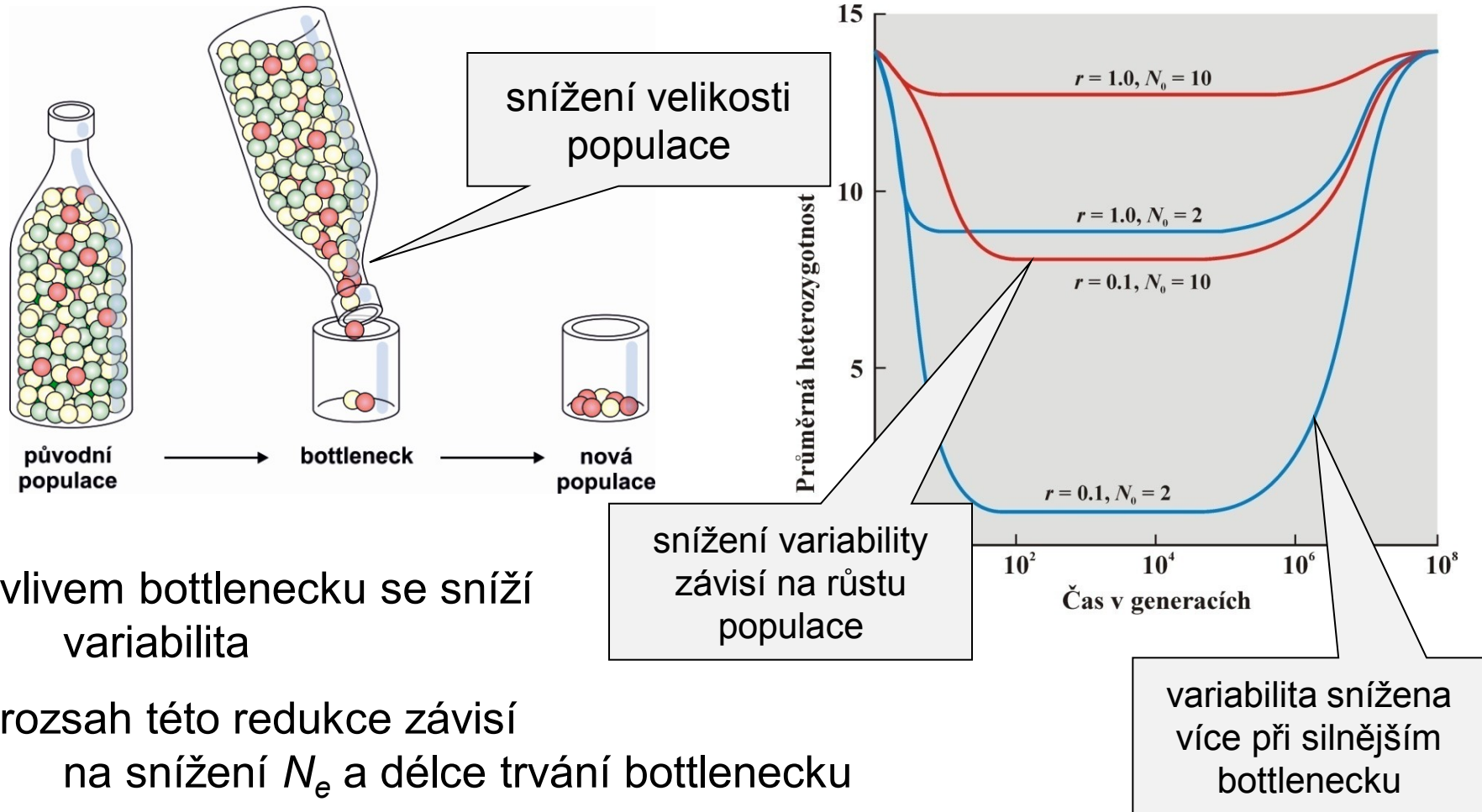


# Stejný vliv na tvar koalescenčního stromu má i selekce:





# EFEKT HRDLA LÁHVE (*BOTTLENECK*) a EFEKT ZAKLADATELE (*FOUNDER EFFECT*)

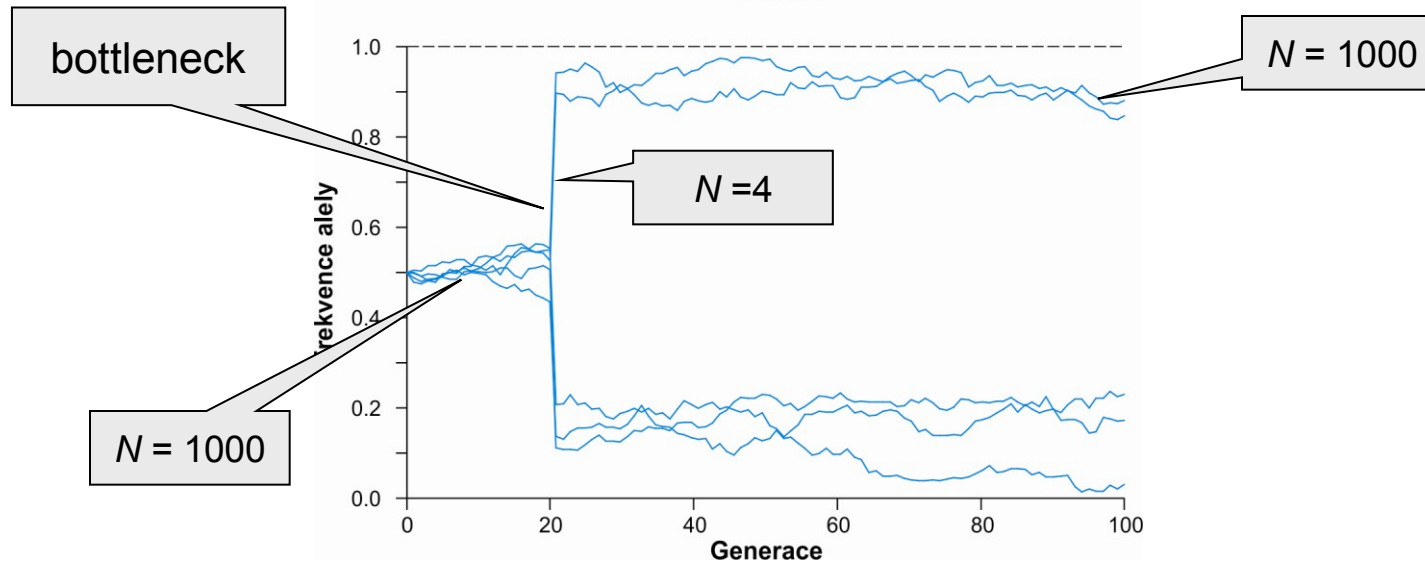
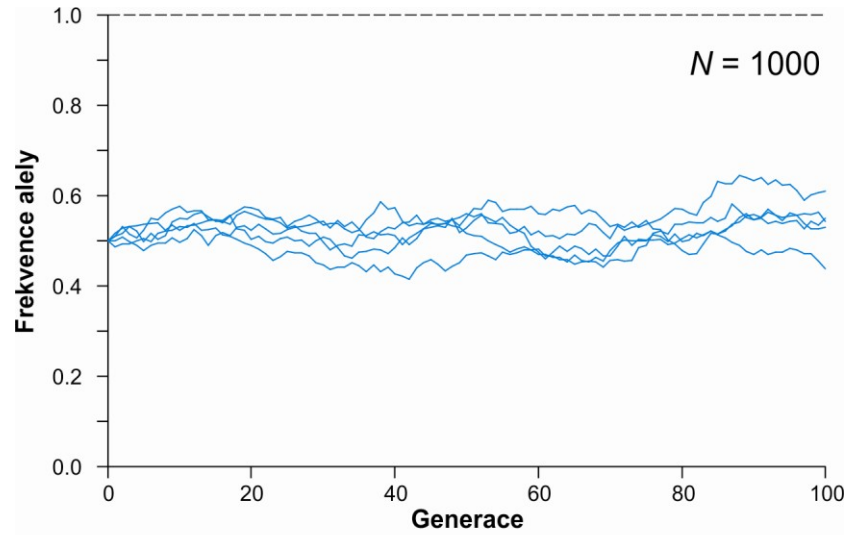


vlivem bottlenecku se sníží variabilita

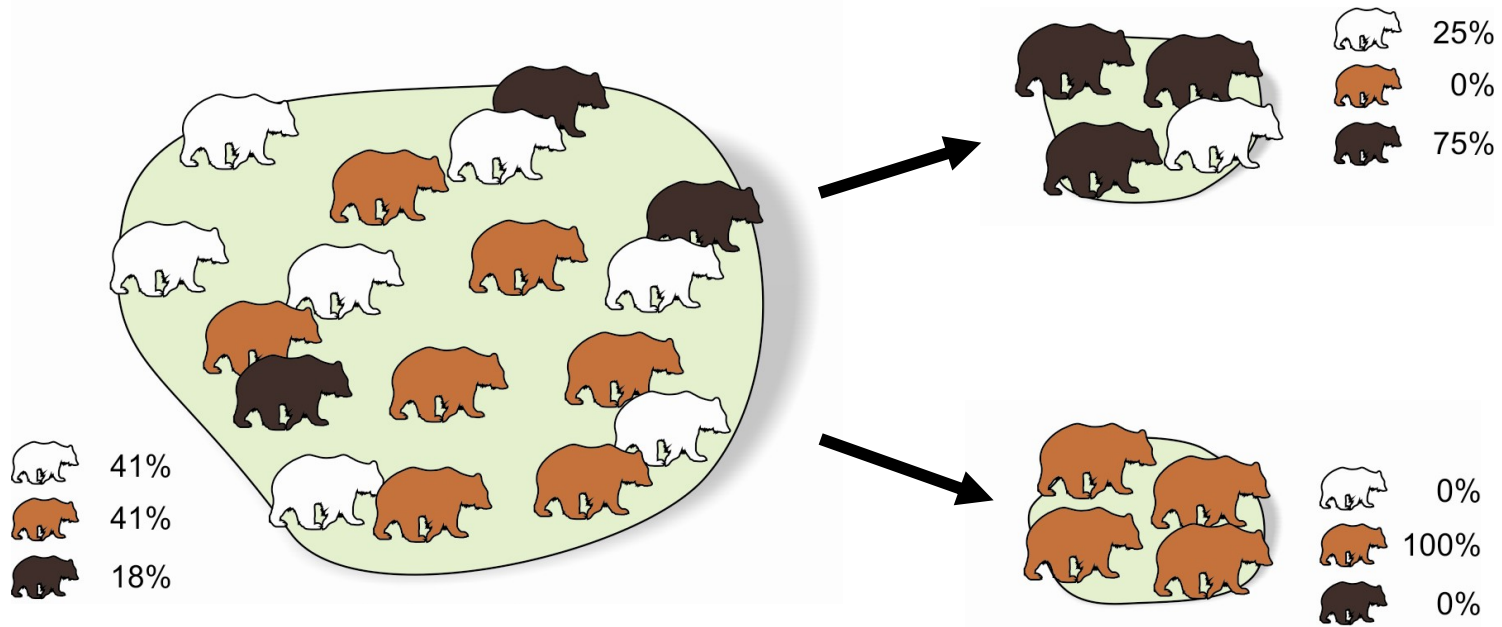
rozsah této redukce závisí na snížení  $N_e$  a délce trvání bottlenecku

míra snížení variability odlišná pro různé genetické znaky (autozomy, mtDNA, Y...) – různá  $N_e$ !

# Efekt hrdla láhve (*bottleneck*):



## Efekt zakladatele (*founder effect*):



kolonizace nového území (např. ostrova)

vlivem nízkého počtu zakladatelů (i jedna březí samice)

→ náhodný posun ve frekvencích alel

→ snížení variability

jiné podmínky prostředí → speciace

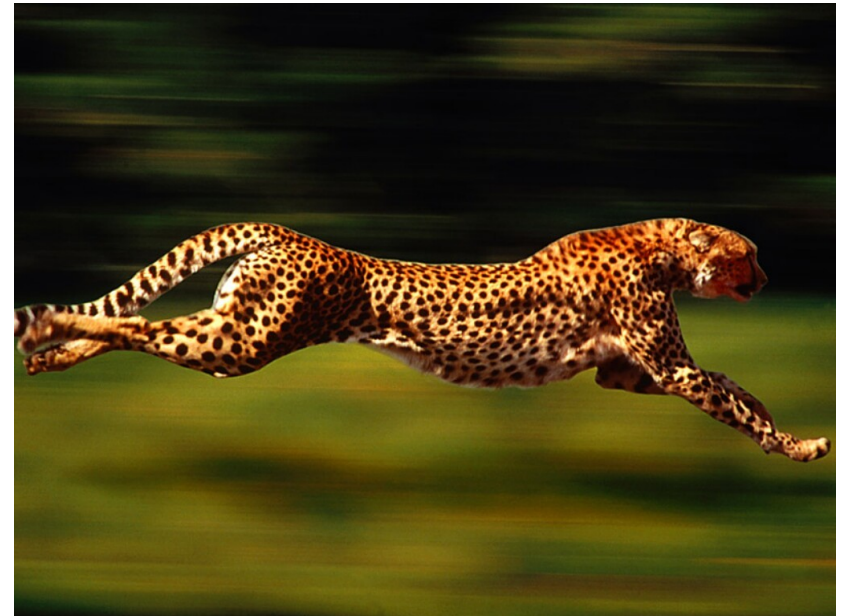
## Příklady efektu zakladatele a bottlenecku gepard

30 jedinců *Acinonyx jubatus reineyi* z V Afriky, 49 proteinových lokusů:  
pouze 2 lokusy polymorfní ( $P = 0,04$ ), průměrná heterozygotnost  $H_o = 0,01$

98 jedinců *A. j. jubatus* z J Afriky:  $P = 0,02$ ,  $H_o = 0,0004$ !

jihoafričtí jedinci bez problémů přijímají kožní transplantáty  
východoafrického poddruhu  $\Rightarrow$  monomorfie pro MHC

předpokládán silný bottleneck  
v minulosti



## křeček zlatý

1930: **Israel Aharoni** (Hebrew Univ., Jerusalem) – samice s mládřaty

únik několika jedinců z chovu

1931: transport několika potomků do Británie; 1937: soukromí chovatelé

Současné genetické analýzy včetně mtDNA → všichni v zajetí chovaní zlatí křečci potomky jedné samice, pravděpodobně z roku 1930

většinou jako příklad bottlenecku,  
ale jde spíš o efekt zakladatele



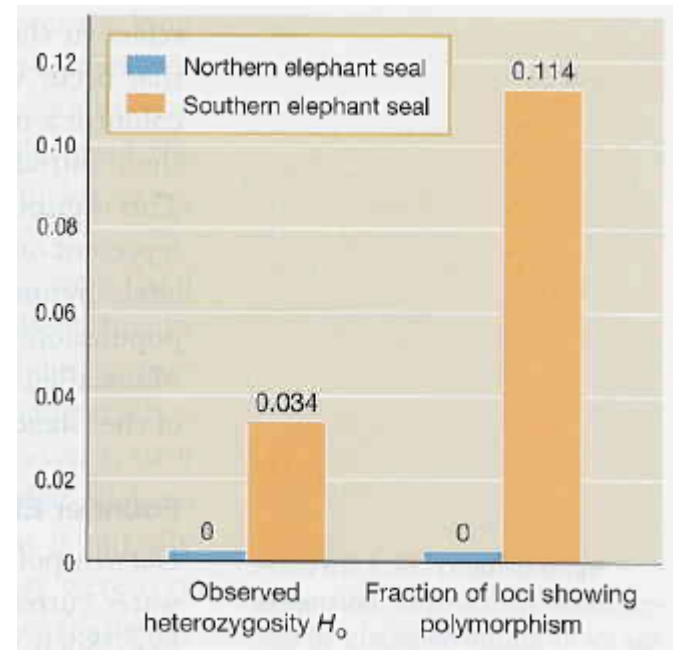
# rypouš severní

rypouš severní (*Mirounga angustirostris*): v 19. stol. téměř vyhuben

→ 1892 posledních 8 jedinců na ostrově Guadelupe zabito pro muzejní sbírky

naštěstí 10-20 jedinců uniklo pozornosti → dnes > 100 000 jedinců

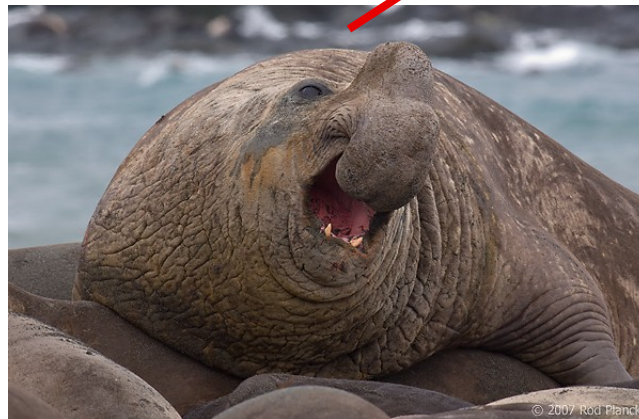
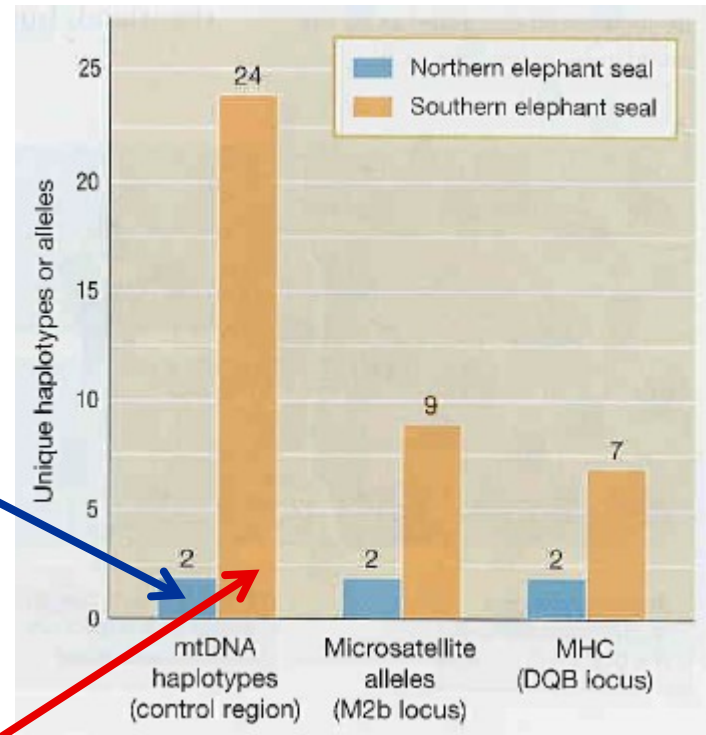
M. Bonnell a R.K. Selander (1974): vzorky krve 159 jedinců elektroforéza 21 lokusů → žádná variabilita  
podobně Hoelzel et al. (1993), 62 lokusů



# Hoelzel et al. (1999): DNA markery

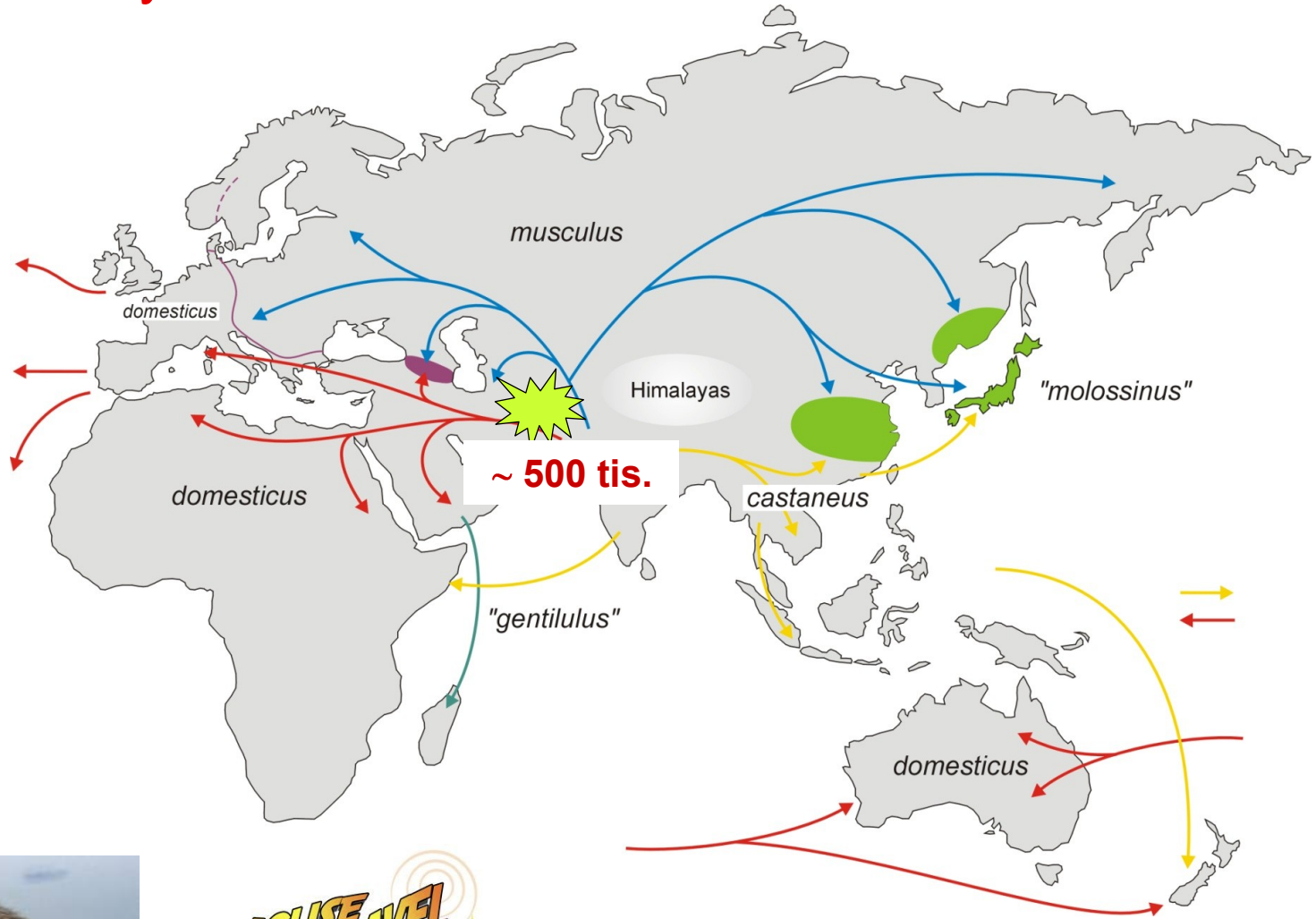


rypouš severní  
(*Mirounga angustirostris*)



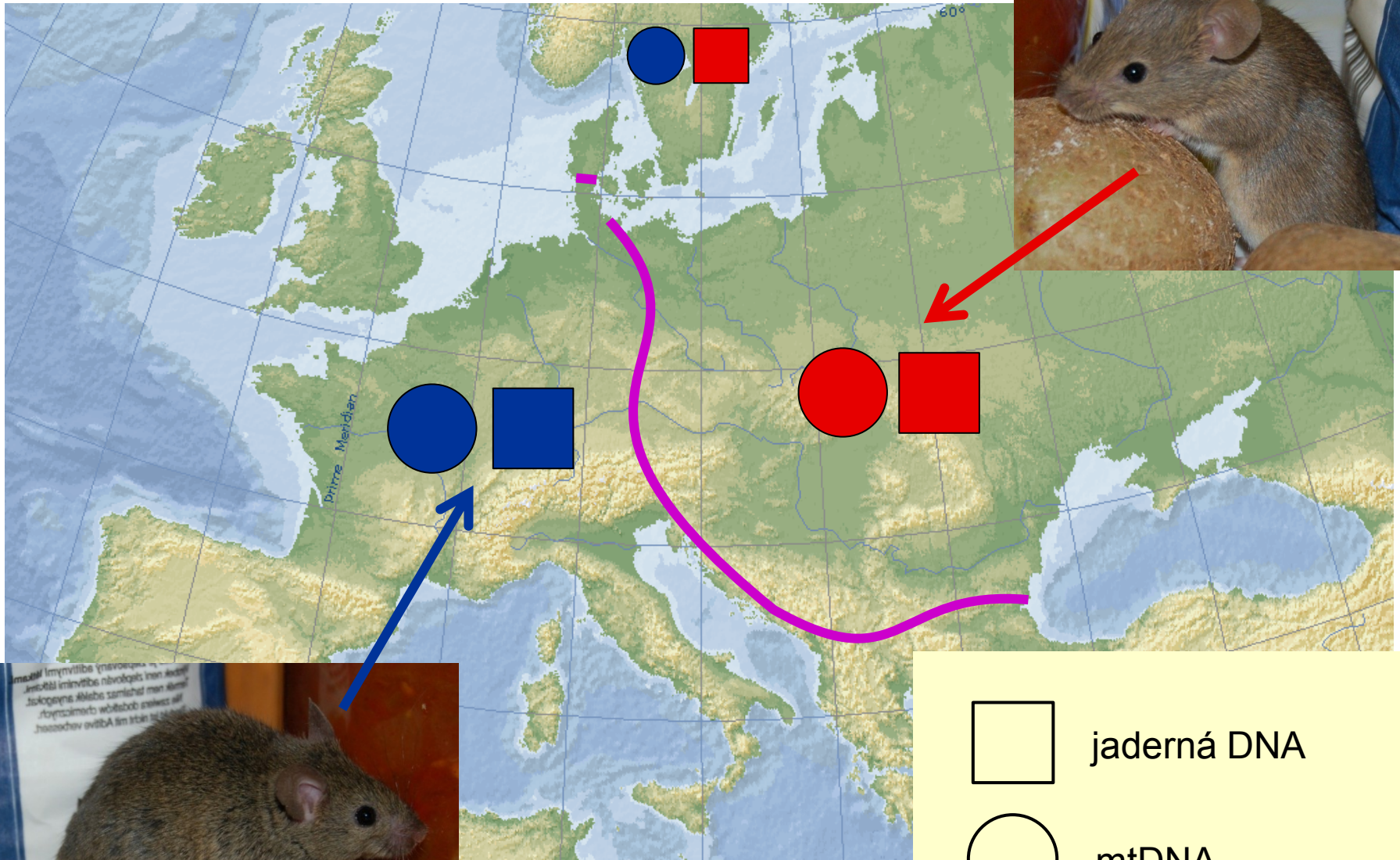
rypouš sloní  
(*Mirounga leonina*)

# FE u myši domácí





*Mus musculus musculus*

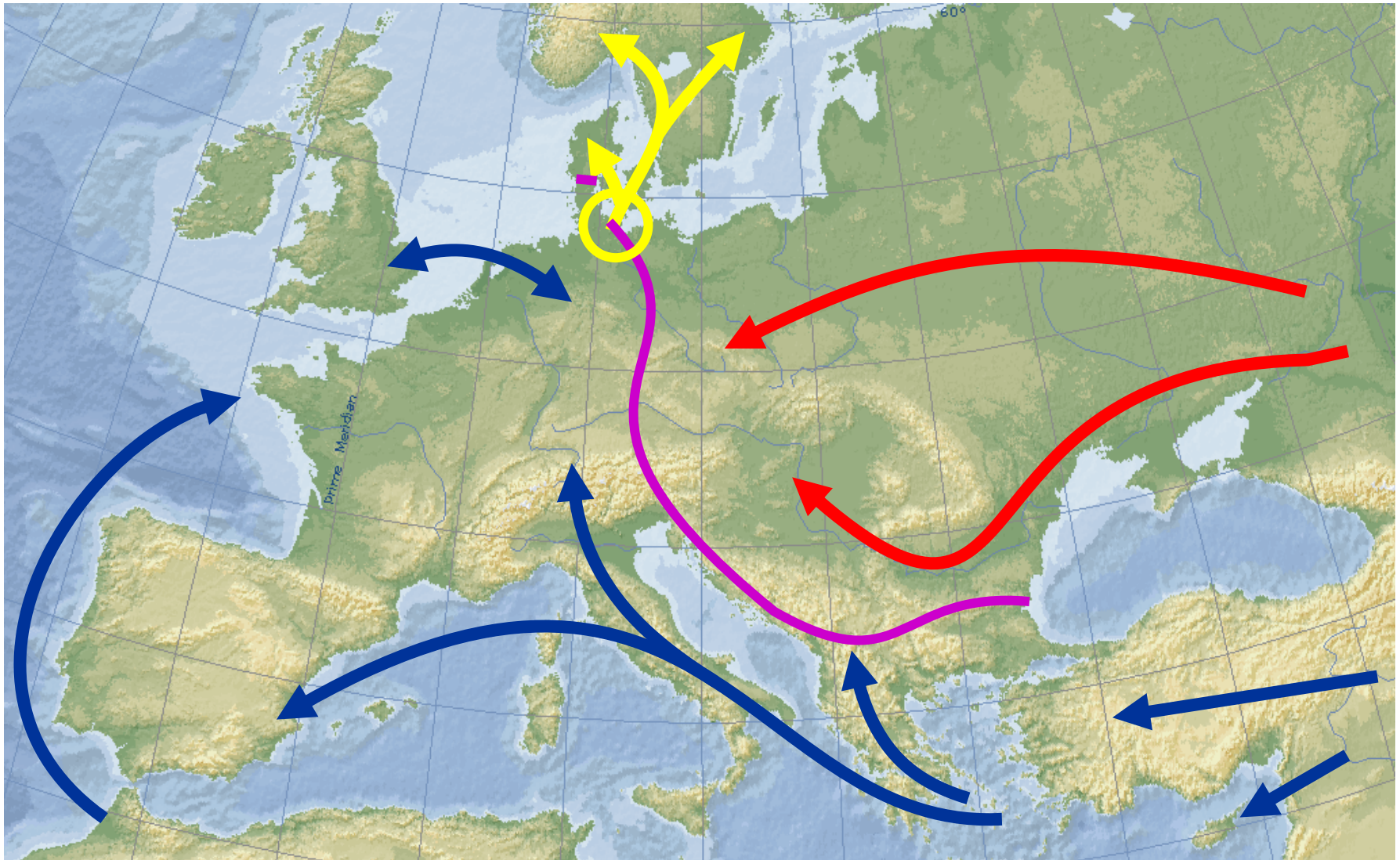


*M. m. domesticus*

Legend:

- jaderná DNA
- mtDNA

# myší kolonizace Evropy



# člověk

a) vesnice Salinas (Dominikánská republika):

Altagracia Carrasco:

několik potomků minimálně se 4 muži

Carrasco heterozygotní pro substituci  $T \rightarrow C$  v 5. exonu genu pro 5- $\alpha$ -reduktázu 2  $\Rightarrow$  TGG (Trp)  $\rightarrow$  CGG (Arg) na 246. pozici proteinu

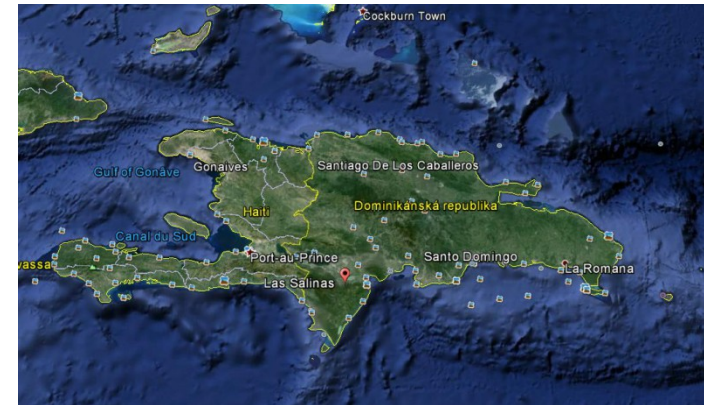
enzym katalyzuje změnu testosteronu na DHT (dihydrotestosteron)

nízká aktivita mutantního enzymu u homozygotů vede k tomu, že chlapci mají testes, ale ostatní znaky dívčí

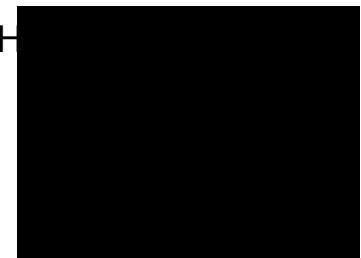
v pubertě zvýšená produkce testosteronu

$\Rightarrow$  změna v muže

ve vesnici vysoká frekvence výskytu, zvláštní termín *guevedoces* (= „penis ve 12“)



DH



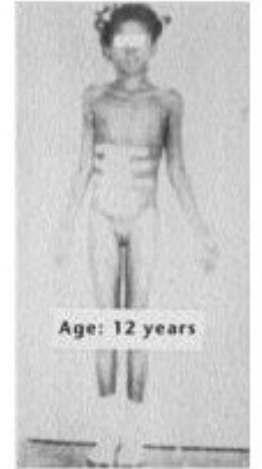




Age: 4 years



Age: 8 years



Age: 12 years



Age: 18 months



Age: 19 years



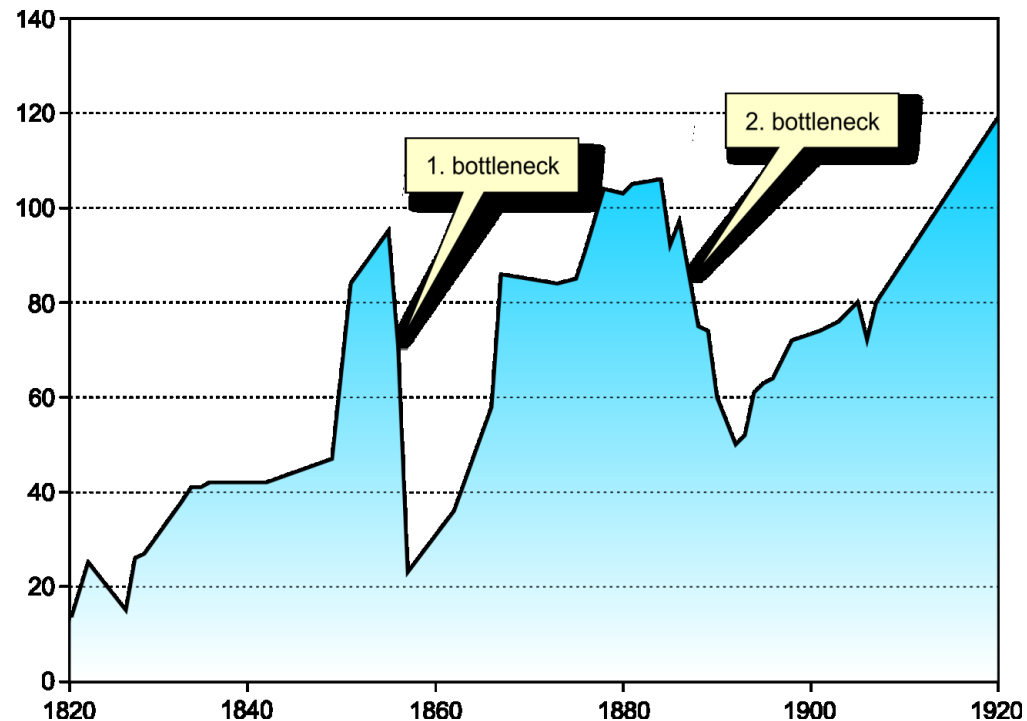
# Tristan da Cunha:

1816 vojenská posádka

1817 posádka zrušena;

skotský desátník **William Glass** zakládá se svou rodinou malou kolonii (celkem 20 jedinců) → **efekt zakladatele**

během 80 let 2 výrazné bottlenecky

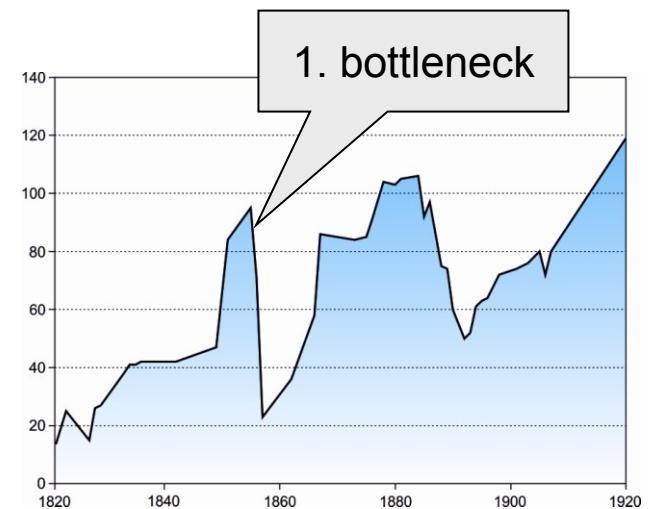
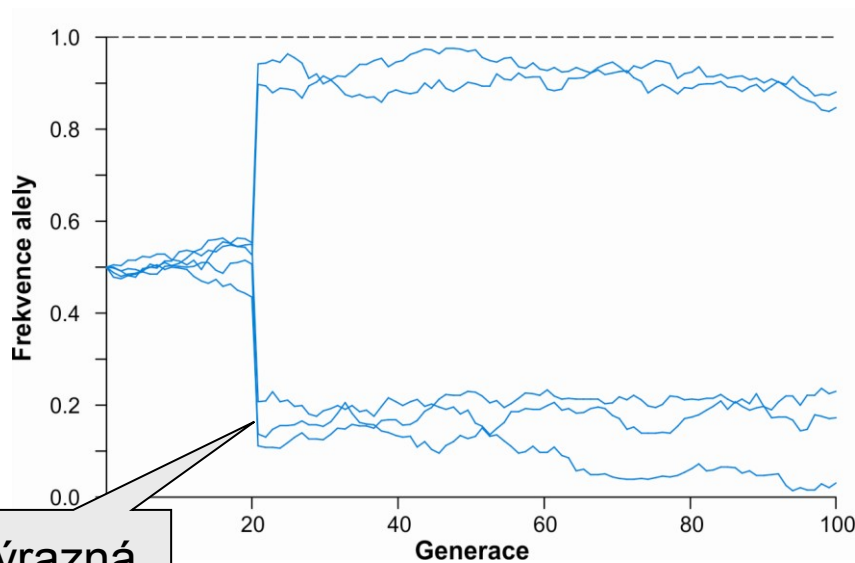


1851: příjezd misionáře

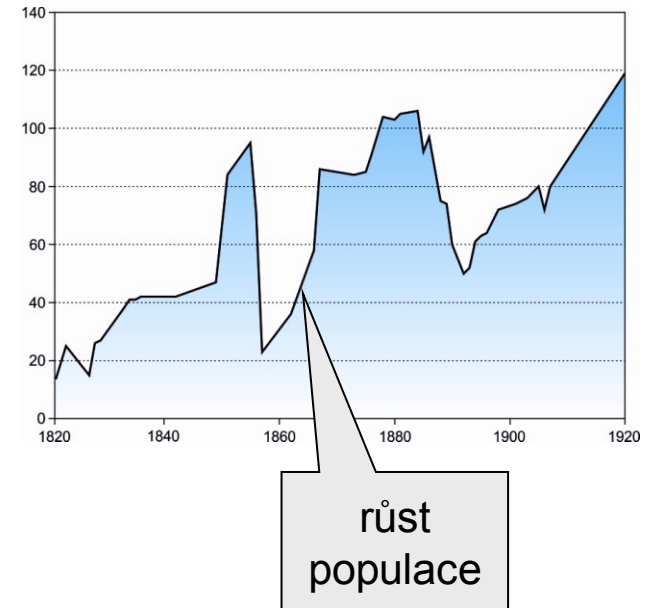
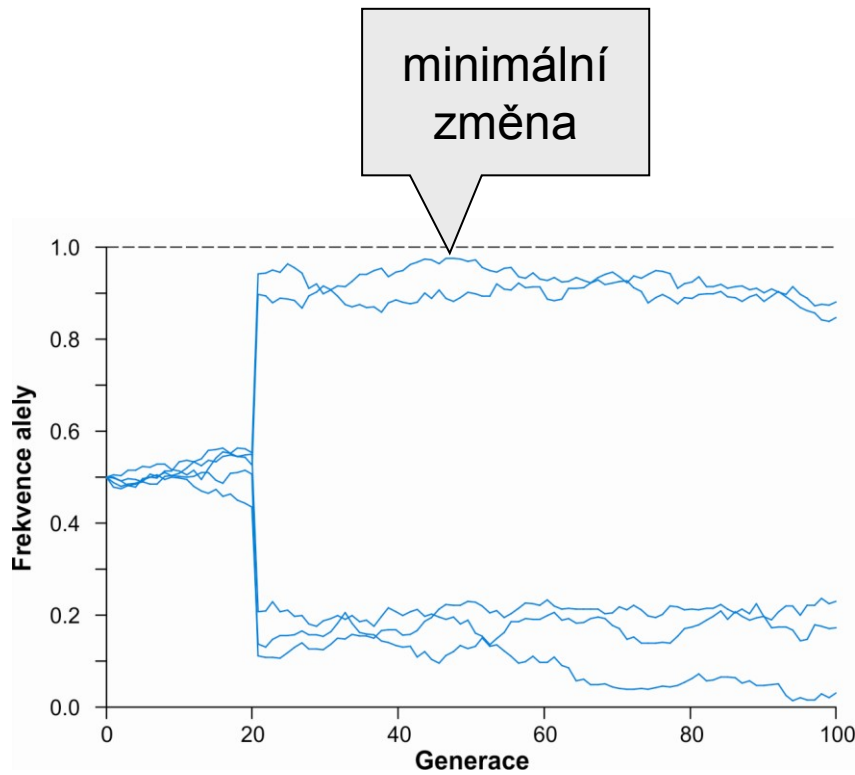
1853: Glassova smrt

1856: odplutí 25 Glassových potomků do Ameriky, odjezd dalších 45 lidí s misionářem

⇒ 103 jed. (1855) → 33 (1857) ... **1. bottleneck**



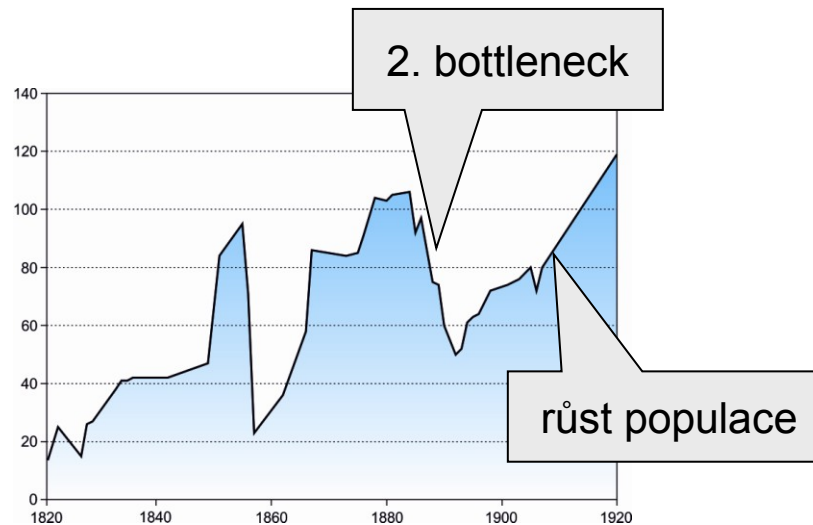
1857–1884: růst populace  $\Rightarrow$  konzervace změn vyvolaných předchozím bottleneckem  $\rightarrow$  méně změn během 27 let než během 2 let 1855–1857



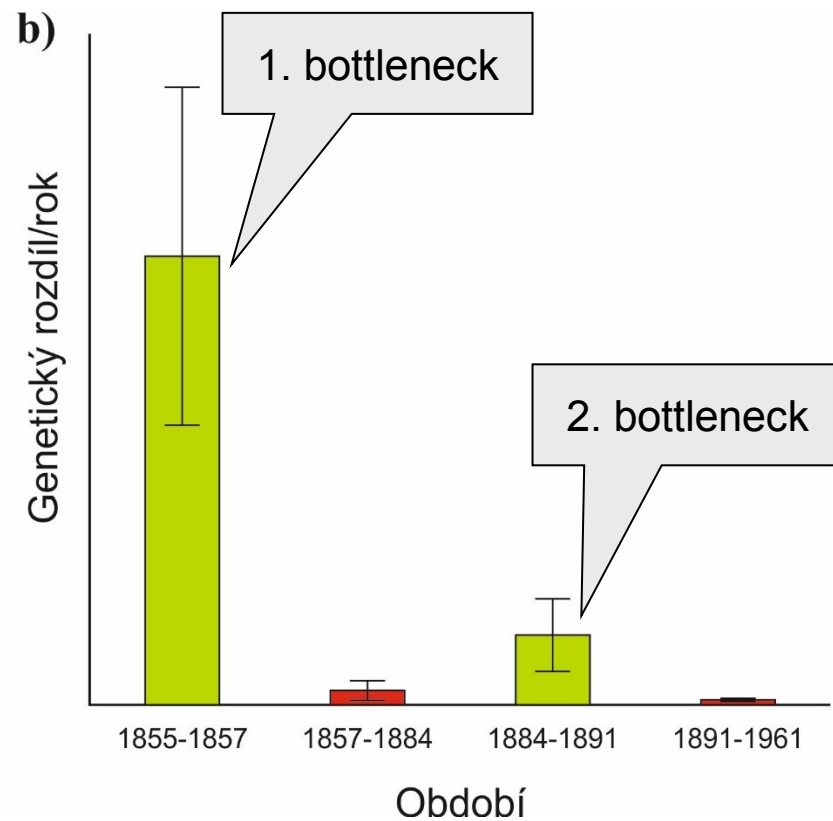
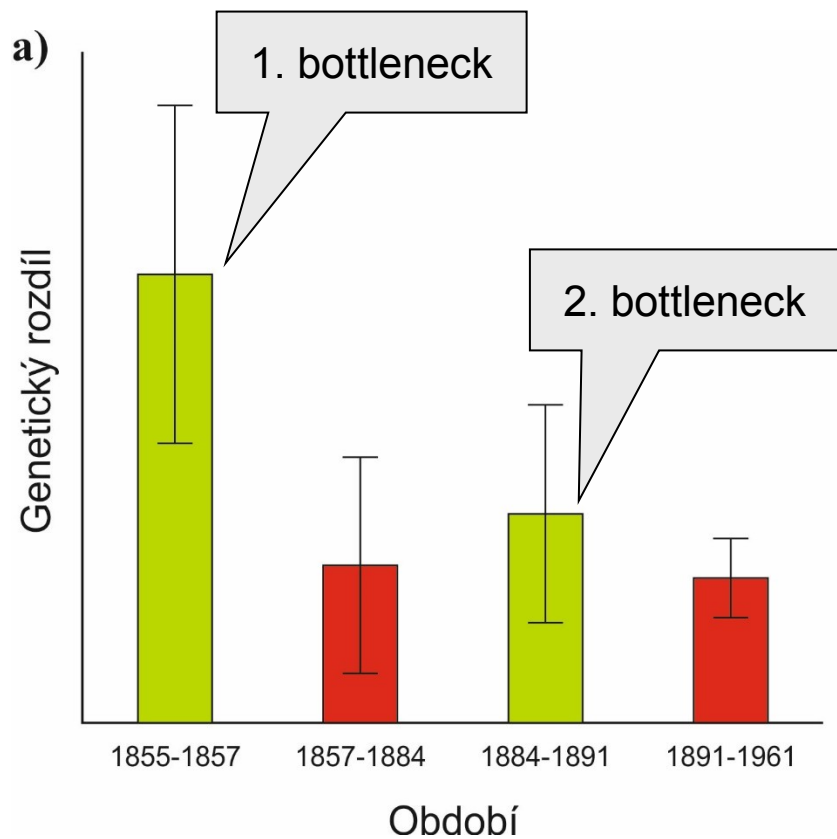


1884–1891: utonutí 15 mužů, zbyli pouze 4 dospělí, z nich 2 velmi staří („Island of Widows“) → odplutí mnoha vdov s dětmi

⇒ 106 jed. (1884) → 59 (1891) ... **2. bottleneck**

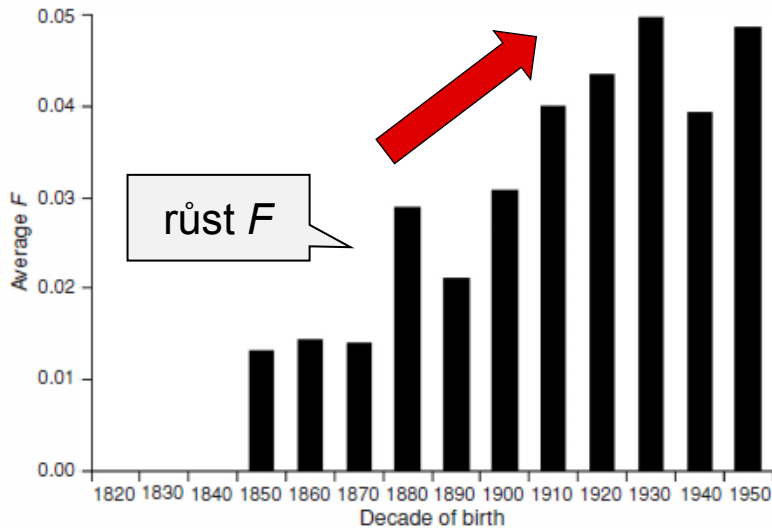


následující růst opět „konzervoval“ změny



Genetické změny během růstu populace nižší než během bottlenecku

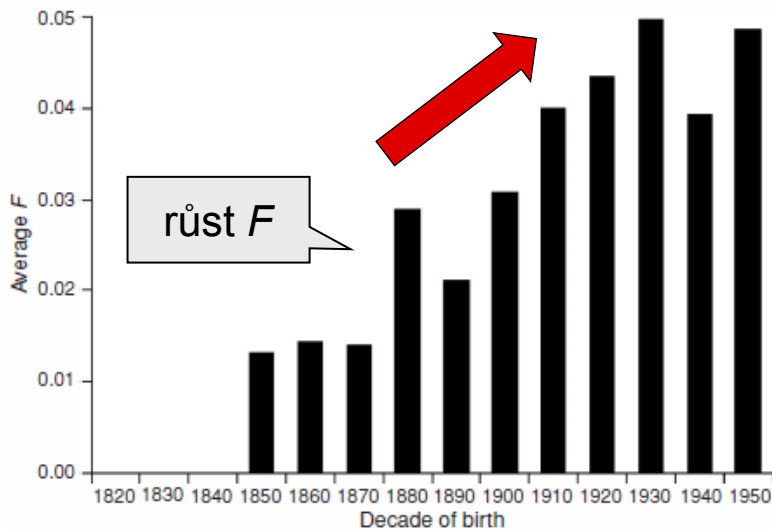
## Inbreeding na Tristan da Cunha:



Přes outbreedingovou strategii (výběr nejméně příbuzného partnera), tj.  $F_{IS} < 0$ , míra autozygotnosti rostla



## Inbreeding na Tristan da Cunha:



Přes outbreedingovou strategii (výběr nejméně příbuzného partnera), tj.  $F_{IS} < 0$ , míra autozygotnosti rostla

**Table 3.3. First Eight Marriages between Biological Relatives on Tristan da Cunha Showing Date of Marriage, Number of Available Women of Marriageable Age,<sup>a</sup> and Number of Available Women Not Related to Groom**

Marriage between Relatives	Date of marriage	Number of available women	Number of non relatives
1	1854	7	3
2	1856	9	2
3	1871	1	0
4	1876	1	0
5	1884	7	1
6	1888	8	0
7	1893	3	0
8	1898	1	0

k dispozici žádná nepříbuzná žena!

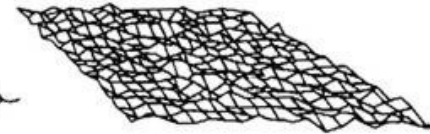
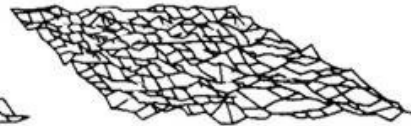
<sup>a</sup> Sixteen years and over, single, and not a sister of the groom.

# VZTAH DRIFTU A MIGRACE

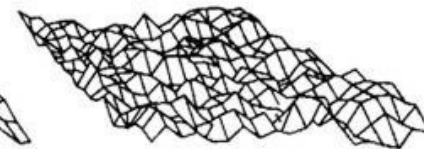
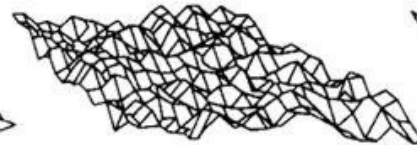
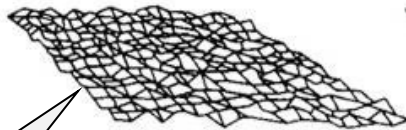
Generace 0

50

110



větší  
migrace

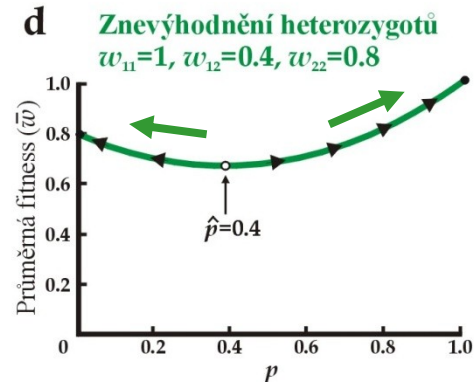
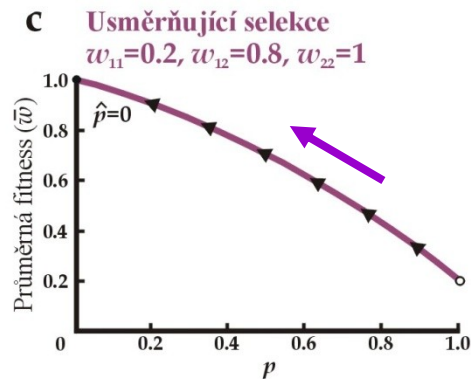
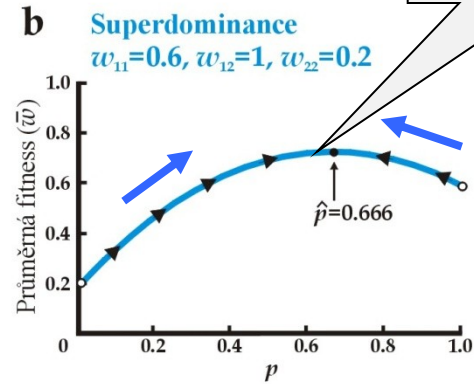
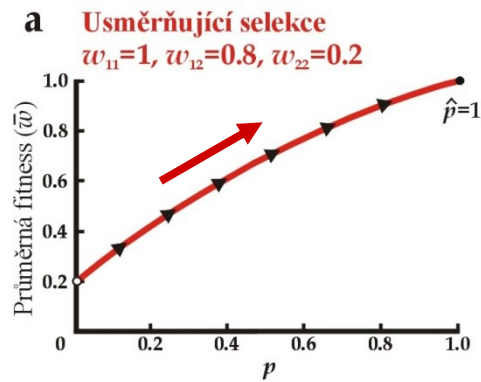


menší  
migrace

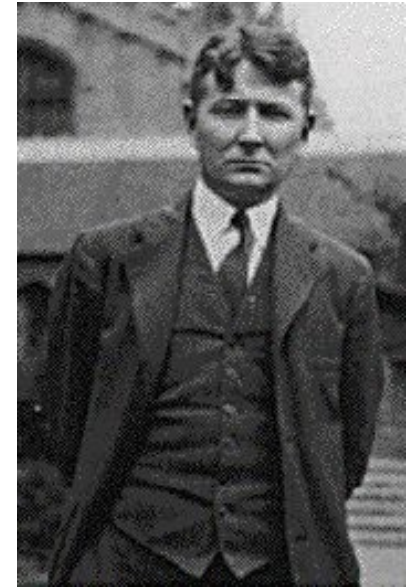
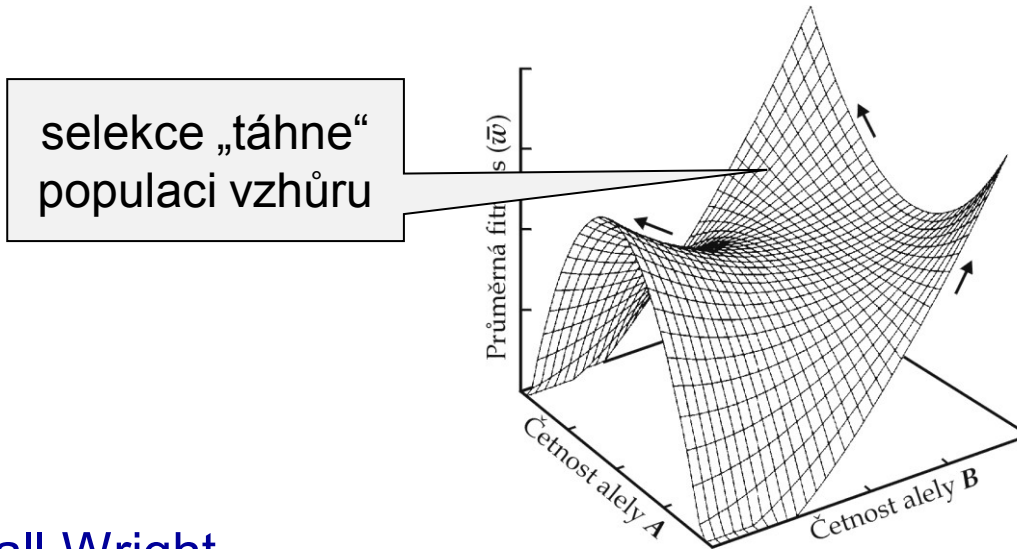
Migrace a drift mají protichůdné účinky:  
drift zvyšuje divergenci mezi démy × migrace démy „homogenizuje“

# VTAH DRIFTU A SELEKCE

závislost fitness na frekvenci alely:



# Adaptivní krajina:



Sewall Wright

Pojem adaptivní krajiny má 2 vzájemně nekompatibilní významy:

1. Pole kombinací alel: hodnota fitness přiřazena genotypu  
 $N$  genotypů  $\rightarrow N + 1$  dimenzí  
diskontinuální povrch, populace = shluk bodů
2. Pole průměrných frekvencí alel  
počet dimenzí = počet sad alelových frekvencí  
kontinuální povrch

# Teorie přesunující se rovnováhy (Shifting balance theory, SBT)

Předpoklady:

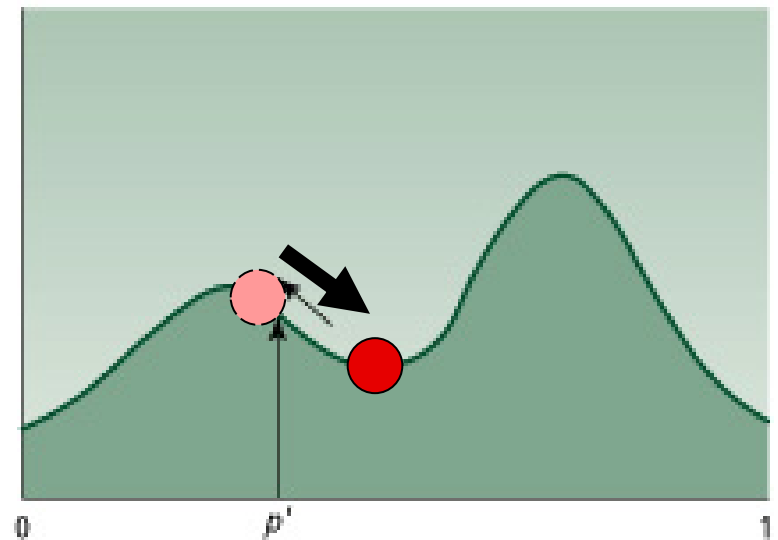
prostředí se mění  $\Rightarrow$  populace v neustálém pohybu

mutace  $\Rightarrow$  nové rozměry, nové cesty vzhůru

malé populace (drift)  $\Rightarrow$  možnost sestupu do adaptivního údolí

## 3 fáze SBT:

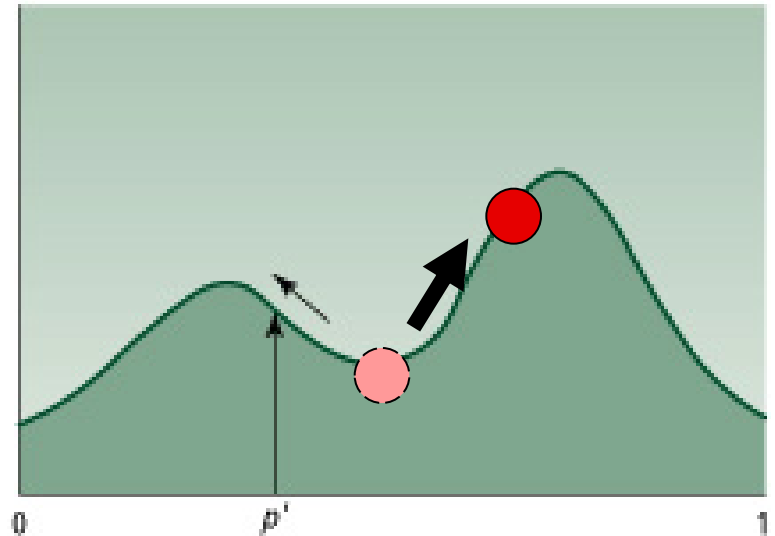
1. dočasné snížení fitness vlivem driftu v lokální populaci  $\rightarrow$  možnost přiblížení do oblasti atrakce vyššího vrcholu





### 3 fáze SBT:

2. intradémová selekce → „tažení“ populace směrem k novému vrcholu



3. interdémová selekce → šíření příslušníků dému na vyšším vrcholu do ostatních démů

**Celý proces viděn jako vychylování rovnováhy mezi driftem, intradémovou a interdémovou selekcí**

## 2 pohledy na evoluci v populacích:



S. Wright



R.A. Fisher

malé lokální populace

kombinace selekce, driftu a migrace

epistáze, pleiotropie,  
závislost účinků alel na kontextu

speciace jako vedlejší produkt  
lokálních adaptací v epistatických  
systémech

velké panmiktické populace

mutace a selekce

aditivní účinky genů,  
účinky alel nezávislé na kontextu

disruptivní nebo lokálně divergentní  
selekce